

ANNALES ZBORNÍK  
MUSEI SLOVENSKEHO  
NATIONALIS NÁRODNÉHO  
SLOVACI MÚZEA

ROČNÍK CXV

ARCHEOLOGIA 31

BRATISLAVA 2021

**ZBORNÍK SLOVENSKEHO NÁRODNÉHO MÚZEA  
ANNALES MUSEI NATIONALIS SLOVACI**

**ROČNÍK / VOLUME CXV  
A R C H E O L Ó G I A 31**

Recenzovaná publikácia / Peer-Reviewed Publication  
Vychádza raz ročne / Published Once a Year  
Otvorený prístup / Open Access  
<https://arheologickemuzeum.sk>

***Predseda redakčnej rady / Head of Editorial Board:***  
PhDr. Juraj Bartík, PhD.

***Redakčná rada / Editorial Board:***  
Doc. PhDr. Gertrúda Březinová, CSc., Mgr. Radoslav Čambal, PhD., PhDr. Zdeněk Farkaš, PhD.,  
Mgr. David Parma, Ph.D., Doc. PhDr. Matej Ruttkay, CSc., Prof. PhDr. Stanislav Stuchlík, CSc.,  
PhDr. Vladimír Turčan, Dr. Eric Vrba

***Zostavovateľ / Edited by:***  
Mgr. Martin Hanuš, PhD.

***Grafický návrh / Graphic Design:*** Martin Hanuš  
***Počítačové spracovanie / Graphic Layout:*** Michal Hricko – mh2  
***Preklad do cudzích jazykov / Translations:*** Stephanie Staffen, Kristián Elschek, Viera Tejbusová,  
Paul Mitchell a autori

***Dátum vydania / Date of Issue:*** 2021  
<https://doi.org/10.55015/zbsnm.arch.2021>

Príspevky sú indexované a evidované v databázach / Articles are indexed and covered in:  
SCOPUS, EBSCO

Za obsah a znenie príspevkov zodpovedajú autori / Authors are responsible for their contributions

***Redakcia / Office:*** Slovenské národné múzeum-Archeologické múzeum,  
Žižkova 12, P. O. Box 13, SK – 810 06 Bratislava, [arheologia.editor@snm.sk](mailto:arheologia.editor@snm.sk)

***Vydavateľ a distribútor / Publisher and Distributor:***  
Slovenské národné múzeum-Archeologické múzeum, IČO 00164721

***Tlač / Print:*** Ultra Print, s. r. o.  
***Náklad / Print Run:*** 300 kusov / pieces

© Slovenské národné múzeum-Archeologické múzeum

ISBN 978-80-8060-515-5  
ISSN 1336-6637

## OBSAH / CONTENTS

### ŠTÚDIE / STUDIES

DUŠAN VALENT – PAVOL JELÍNEK – IVAN LÁBAJ	
The Death-Sun and the Misidentified Bird-Barge: A Reappraisal of Bronze Age Solar Iconography and Indo-European Mythology . . . . .	5
“Slnko smrti” a mylne interpretovaná slnečná bárka: Prehodnotenie solárnej ikonografie doby bronzovej a indoeurópskej mytológie . . . . .	40
PAVOL ŠTEINER – JAKUB GODIŠ	
K nálezom keramiky otomansko-füzesabonyského kultúrneho komplexu z Kamenína . . . . .	45
On the Findings of the Otomani-Füzesabony cultural complex from Kamenín . . . . .	70
VLADIMÍR MITÁŠ – JÁN RAJTÁR – JÁN TIRPÁK	
Ďalšie predmety z doby bronzovej z Cífer-Pácu . . . . .	73
Other Bronze Age artefacts from Cífer-Pác . . . . .	88
JURAJ BARTÍK – ZDENĚK FARKAŠ	
Hromadný nález bronzov Buková I . . . . .	89
Bronzehort Buková I . . . . .	103
DAVID PARMA – MARKÉTA HAVLÍKOVÁ – JAN PETŘÍK – FRANTIŠEK TRAMPOTA	
Zlomkový depot z mladší doby bronzové z Velkých Bílovic (okr. Břeclav) . . . . .	107
Brucherzhort aus der jüngeren Bronzezeit aus Velké Bílovice (Bez. Břeclav) . . . . .	139
VIOLETTA REITER – HELGA SEDLMAYER – KARL GROSSSCHMIDT – ROBERT LINKE	
Ein zoomorphes Ausgussgefäß der frühen Hallstattkultur aus Rannersdorf, Niederösterreich . . . . .	143
A zoomorphic spouted vessel of the Early Hallstatt Culture from Rannersdorf, Lower Austria . . . . .	166
GERTRÚDA BŘEZINOVÁ	
Branč v dobe laténskej . . . . .	167
Branč in the La Tène period . . . . .	187
ROBERT IVÁN	
Pece z rímskeho dočasného tábora v Cíferi-Páci . . . . .	189
Öfen aus dem römischen Feldlager in Cífer-Pác . . . . .	198
DAVID VÍCH – JAN JÍLEK – JIŘÍ MILITKÝ – MICHAL HLAVICA – JIŘÍ KMOŠEK – JAN MARTÍNEK	
Mařínské hradiště a jeho okolí v době římské . . . . .	199
Mařín hillfort and its surroundings in the Roman period . . . . .	236
MICHAL HOLEŠČÁK	
Hroty šípov spod vrchu Vtáčnik pri Banskej Štiavnici . . . . .	241
Arrowheads from the slope of Vtáčnik hill by Banská Štiavnica . . . . .	247

RADOSLAV ČAMBAL – MAREK BUDAJ – DAGMAR GROSSMANNOVÁ	
Stredoveké a novoveké militária, súčasti výstroja a numizmatické nálezy z Plaveckého Podhradia. ....	249
Medieval and modern militaria, items of equipment and numismatic finds from Plavecké Podhradie. ....	333
PETR ŽÁKOVSKÝ – PATRICK BÁRTA – JIŘÍ HOŠEK – JINDŘICH ŠTEFFL	
Nález vrcholně středověkého dlouhého meče na Lipské hoře .....	345
Find of a high medieval longsword at Lipská hora .....	366
MARTIN HANUŠ	
Súbor skla z výskumu majera Nitrianskej kapituly a kláštora benediktínov v Ludaniciach. ...	369
Set of glass from excavations of a farmstead belonging to the Chapter of Nitra and from the Benedictine Monastery in Ludanice .....	380

### RECENZIE / REVIEWS

ZDENĚK FARKAŠ	
Vítězoslav Struhár a kol.: Mysterium Liskovskej jaskyne .....	383
VLADIMÍR TURČAN	
Marek Budaj – Luboš Polanský: Uhorské středověké dukáty ze sbírky Národního muzea. ...	385

### BIBLIOGRAFIA / BIBLIOGRAPHY

VLADIMÍR TURČAN	
Zborník Slovenského národného múzea 105–114, Archeológia 21–30, 2011–2020. Obsah ročníkov – menný a tematický register / Volume Contents – Name and Thematic Index .....	387

## MAŘÍNSKÉ HRADIŠTĚ A JEHO OKOLÍ V DOBĚ ŘÍMSKÉ

DAVID VÍCH – JAN JÍLEK – JIŘÍ MILITKÝ<sup>1</sup> – MICHAL HLAVICA –  
JIŘÍ KMOŠEK – JAN MARTÍNEK

**Keywords:** Northwestern Moravia, Eastern Bohemia, Roman period, Roman militaria, small metal finds, coins, Marcomannic wars, elemental analysis of non-ferrous metals, spatial analysis.

**Abstract:** *Mařín hillfort and its surroundings in the Roman period.* The concentration of finds from the Roman period, including militaria, together with the configuration of the terrain with its relicts of extinct roads in the form of cuttings in the hilly landscape west of Jevíčko is evidence of the existence of a road in the Roman period, the embouchure of which was controlled by a short-term Roman camp. Artefacts and the strategic situation of Hradiště hill with its wide visual surveillance enable us to form the hypothesis of a possible forward guard point controlled by a Roman garrison in this place. The finds could as well represent lost items, or evidence of the ritual behaviour of Barbarians.

### 1. ÚVOD

V roce 2016 učinili archeologové Regionálního muzea v Litomyšli významný krok pro poznání dění na Malé Hané v době římské, když při rozšiřování zástavby města Jevíčka objevili příkop římského krátkodobého tábora (předběžně Komoróczy *et al.* 2020). Tento objev pomáhá některé jevy lépe pochopit, jako např. přítomnost značného počtu předmětů souvisejících s římským vojenským prostředím, avšak další otazníky tento objev naopak vyvolává. Řada nezodpovězených otázek se pojí právě s přítomností římské armády v regionu. Určitý vhled do problematiky postupně přináší průzkum zalesněného kopcovitého terénu západně od Malé Hané, a to zejména okolí opevněné lokality označované jako mařínské hradiště (k. ú. Zadní Arnoštov a Křenov, Pardubický kraj, Česká republika).

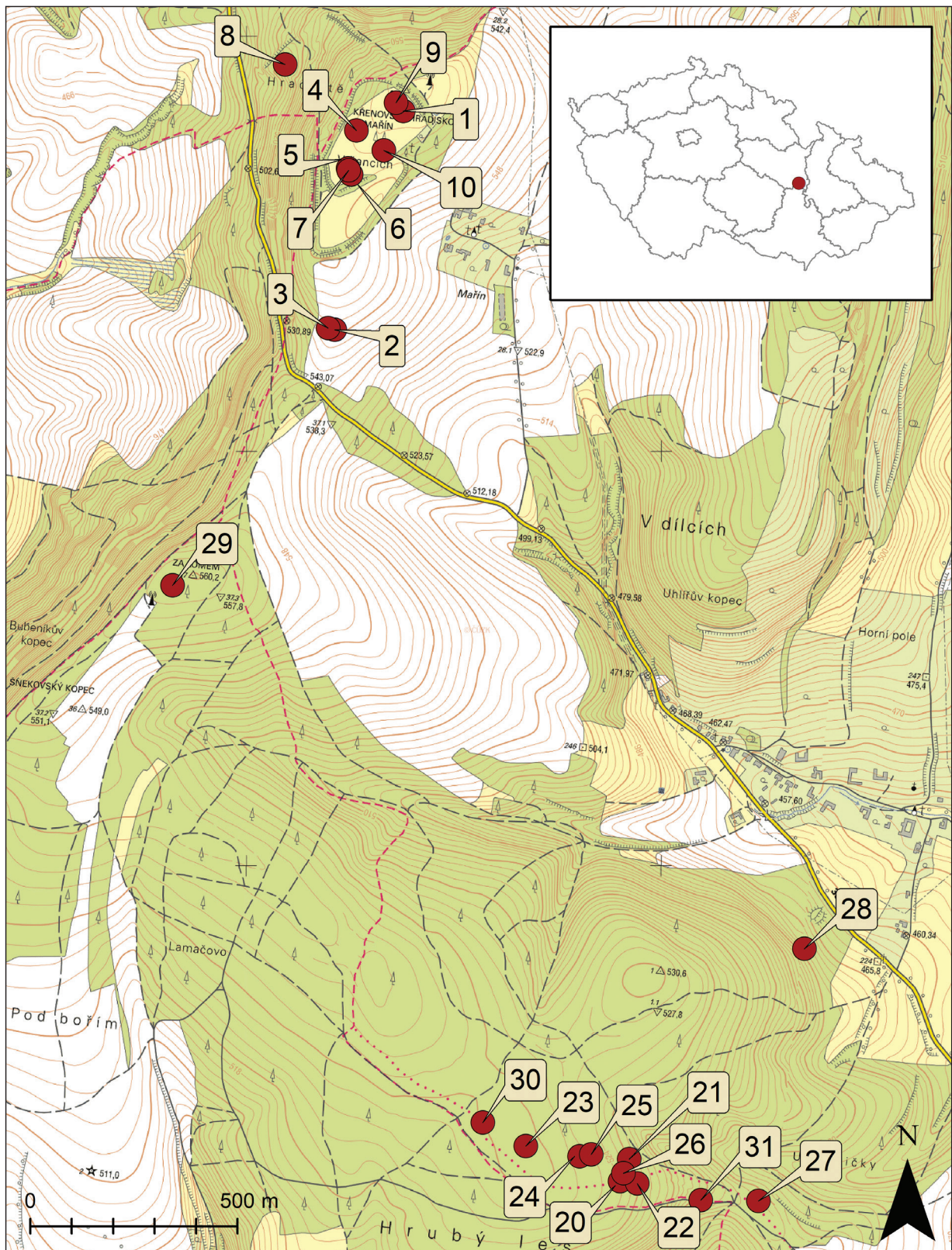
### 2. MAŘÍNSKÉ HRADIŠTĚ

Lokalita se nachází ve vzdálenosti 6 km severozápadně od římského krátkodobého tábora u Jevíčka na vrcholu kopce nazývaného příznačně Hradiště (obr. 1). Areál hradiště nebyl doposud archeologicky zkoumán, při jeho interpretaci jsme byli až do nedávné doby odkázáni prakticky pouze na staré nálezy uložené dnes v Městském muzeu v Moravské Třebové. Podle jejich výpo-

vědi se počítá s využíváním hradiště v rozmezí 9.–13. století s možným posunem doby vzniku již do 8. století (naposledy Profantová/Vích 2008, 151, 152, 160).

Důležité poznatky přinesla v nedávné době preventivní prospekce s pomocí detektorů kovů vyvolaná nelegálními detektorovými aktivitami v areálu této památky. První orientační detektorový průzkum v režii Regionálního muzea ve Vysokém Mýtě zde proběhl v roce 2007, a to na zalesněném západním předhradí. Výsledkem byl objev železného hrotu kopí (Profantová/Vích 2008, 154, obr. 29: 5). Hlavní vlna detektorového průzkumu za účasti archeologů zde proběhla v letech 2016–2017. Nejprve jsme se zaměřili na průzkum valů zejména v centrální části hradiště, stranou pozornosti při tom opět nezůstalo ani zalesněné západní předhradí. Po zjištění, že zatravněná část hradiště není vykradena do té míry, jaké jsme se obávali, se průzkum přenesl sem. Nakonec byla pozornost věnována i orané ploše mimo areál předhradí. Vedle nečetných středověkých mincí (Schneider/Vích 2018) a dalších předmětů stejného stáří se podařilo objevit ojedinělé nálezy z doby bronzové a nevelkou, ale výraznou kolekci artefaktů z protohistorického období, zejména pak z doby římské. V rámci této studie jsou představeny pouze nálezy z neželezných kovů. Železné předměty jednoznačně

<sup>1</sup> Autorský podíl J. Militkého vznikl v rámci pracovního úvazku autora v této instituci: Filosofický ústav AV ČR, Praha / Centrum mediévistických studií AV ČR a Univerzity Karlovy v Praze, Jilská 1, Praha 1, 110 00.



**Obr. 1.** Zájmové území s vyneseními místy nálezů (číslování artefaktů odpovídá číslování v soupisové části v textu).  
**Fig. 1.** Territory studied with the places of finds marked (the numbering of artefacts matches the numbering in the list part of the text).

datovatelné do doby římské se objevit nepodařilo, intervalově datované artefakty budou zpracovány se středověkými nálezy. Nálezy byly dokumentovány standardním způsobem (Vích 2015).<sup>2</sup>

## 2.1 Soupis nálezů<sup>3</sup>

### 2.1.1 Drobné kovové nálezy doby římské

1. lučík bronzové spony typu A 84, rozměry: 39 x 18 x 11 mm, GPS: E 0618860, N 5503619, z ornice na zatravněné akropoli (ev. č.<sup>4</sup> 16, obr. 2: 1);

2. bronzový kuželovitý nýt z římské přílby typu Niederbieber, rozměry: průměr 13 mm, délka 20 mm, GPS: E 0618764, N 5503075, z ornice na poli vně hradiště (ev. č. 24, obr. 2: 3; 6: 4);

3. ploché bronzové kování, rozměry: 46 x 13 x 11 mm, GPS: E 0618748, N 5503077, z ornice na poli vně hradiště (ev. č. 25, obr. 2: 5);

4. bronzové trubkovité opaskové kování, rozměry: 38 x 19 x 3 mm, GPS: E 0618754, N 5503558, z ornice na zatravněné akropoli (ev. č. 28, obr. 2: 2; 6: 1).

### 2.1.2 Mince

5. Řím-císařství, **Domitianus** (81–96), *Roma*, AR denár, 88–89

Av.: IMP CAES DOMIT AVG-GERM P M TR P VIII, ověčená hlava Domitiana doprava

Rv.: IMP XVIII COS XIII CENS P P P, stojící Minerva ve zbroji doleva drží vlevo kopí svisle

Lit.: *RIC* 2/12, 312, č. 666, Pl. 129: 666.

19. 3,030 g; 18,1/17,6 mm; 6 h (obr. 5: 1)

Lok.: GPS: E 0618746, N 5503465; 19.11. 2016.

6. **Traianus** (98–117), *Roma*, AR denár, asi 107–108, skupina 10/1

Av.: IMP TRAIANO AVG GER DAC P M TR P, ověčené poprsí Traiana doprava s drapérií na levém rameni

Rv.: COS V P P SPQR OPTIMO PRINC, stojící Viktorie doleva drží palmovou ratolest a věnec

Lit.: *RIC* 2, 253, č. 128; *MIR* 14, 327, č. 270b, Taf. 54: 270b.

52. 2,945 g; 18,4/17,9 mm; 6 h (obr. 5: 2)

Lok.: GPS: E 0618755, N 5503451; 10.12. 2016.

7. **Antoninus Pius** (138–161), *Roma*, AR denár, 143–144 (?)

Av.: ANTONINVS AVG PI-VS P P TR P COS III, ověčená hlava Antonina Pia doprava

Rv.: IMPERA-TOR•II, stojící Viktorie doleva drží palmovou ratolest a věnec

Lit.: *RIC* 3, 39, č. 111(b); *BMC RE* 4, 70, č. 496, Pl. 11: 3.

18. 2,840 g; 18,7/16,0 mm; 12 h (obr. 5: 3)

Lok.: GPS: E 0618748, N 5503460; 19.11. 2016.

8. –, *Roma*, AE sestercius, 156–157

Av.: [ANTONINVS AVG PIVS] P P IMP II, ověčená hlava Antonina Pia doprava

Rv.: TR PO[T XX-COS IIII], stojící Annona doprava drží *modius* s klasy a vlevo svislé dlouhé kormidlo na globu, levá noha nakročena na lodní přídi

Lit.: *RIC* 3, 145, č. 964; *BMC RE* 4, 340, č. 2014, Pl. 48: 11.

63. 20,979 g; 28,8/26,9 mm; 12 h (obr. 5: 4)

Lok.: GPS: E 0618563, N 5503694; 4.3. 2017.

9. –, *Roma*, AE as, 145–161

Av.: [ANTONINVS AVG PIVS P P TR P COS III], ověčené poprsí Antonina Pia v krunýři doprava

Rv.: ve věnci SPQR / OPTIMO / PRINCIPI / S•C

Lit.: *RIC* 3, 130, č. 827b; *BMC RE* 4, 285, jako č. 1764, jako Pl. 42: 16 (ale s drapérií na levém rameni).

17. 8,647 g; 25,9/25,7 mm; 11 h (obr. 5: 5)

Lok.: GPS: E 0618840, N 5503637; 19.11. 2016.

10. Blíže neurčená provincie (?)

**Neurčitelný panovník** (2. století?), AE 21

Av.: opis nečitelný, hlava panovníka doprava

Rv.: opis nečitelný, stojící ženská (?) postava doleva

Lit.: –.

38. 3,182 g; 20,7/21,2 mm; 12 h (obr. 5: 6)

Lok.: GPS: E 0618826, N 5503519; 19.11. 2016.

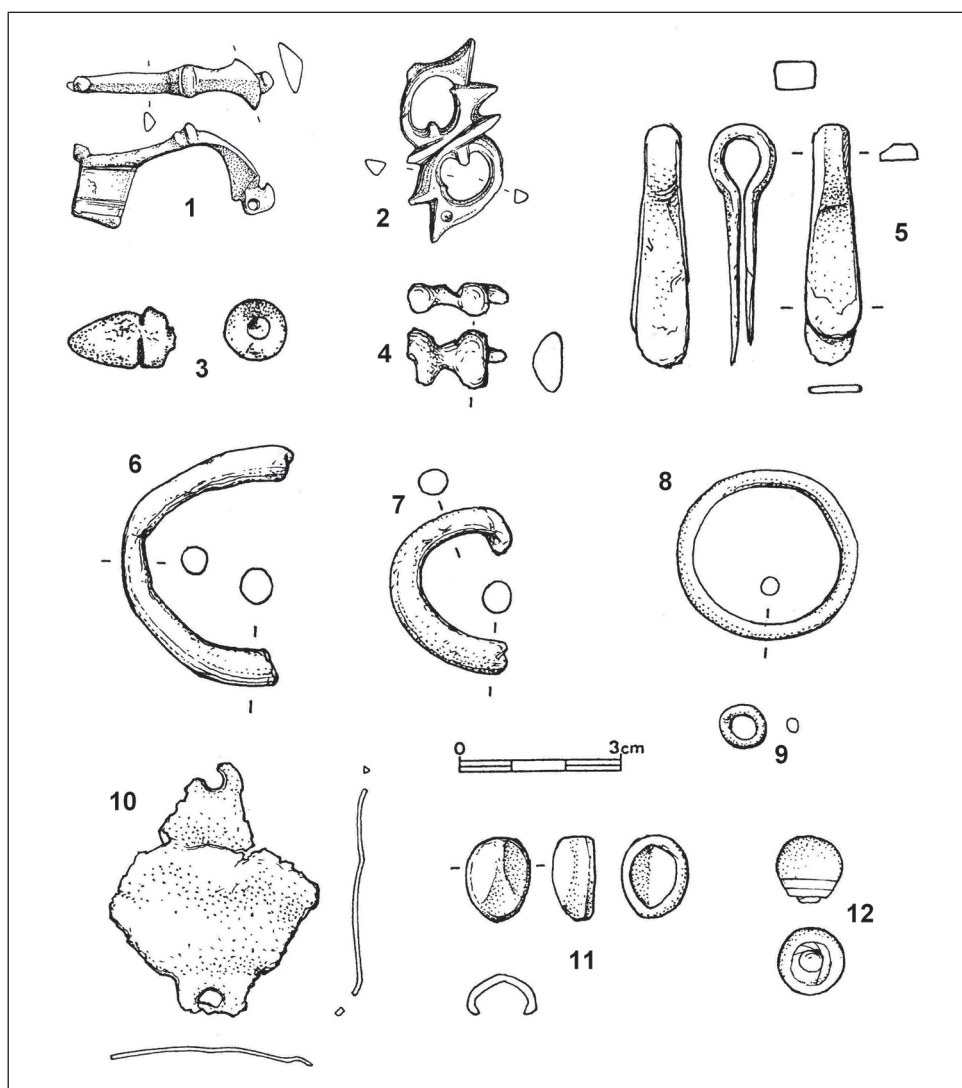
### 2.1.3 Intervalově datované artefakty

11. část bronzového kruhu o nestejně síle drátu, rozměry: 45 x 7 x 6 mm, GPS: E 0618831, N 5503605, z ornice na zatravněné akropoli (ev. č. 12, obr. 2: 6);

<sup>2</sup> Zejména v areálu akropole jsme zaznamenali velmi mělce vystupující skalní podloží, přesto byly recentní artefakty registrovány minimálně do hloubky 30 cm nepochybně jako důsledek dřívější orby.

<sup>3</sup> Artefakty byly zaměřovány ruční stanicí GPS v souřadnicovém systému UTM, pás 33U, v lesním prostředí se sledováním stratigrafických poměrů. Všechny prezentované nálezy bez výjimky jsou majetkem Pardubického kraje uloženy v Regionálním muzeu v Litomyšli.

<sup>4</sup> Ev. č. – evidenční číslo, pod kterým je artefakt registrován v rámci dané lokality v evidenci D. Vicha.



Obr. 2. Mařínské hradiště. Nálezy (kresba M. Černý).

Fig. 2. Mařín hillfort. Finds (drawing by M. Černý).

12. bronzový kroužek kruhového příčného průřezu, rozměry: 34 x 32 x 3 mm, GPS: E 0618764, N 5503526, z ornice na zatravněné akropoli (ev. č. 14, obr. 2: 8);

13. bronzový vývalkovitě členěný artefakt, snad část spony, rozměry: 18 x 11 x 6 mm, GPS: E 0613784, N 5503327, z ornice na zatravněné akropoli (ev. č. 15, obr. 2: 4);

14. bronzová kulovitá hlavice hřebu/nýtu, rozměry: průměr 13 mm, délka 13 mm, GPS: E 0618619, N 5503785, zalesněné západní předhradí, hloubka 10 cm (ev. č. 31, obr. 2: 12);

15. hranolek kovu z mědi nebo její slitiny, rozměry: 37 x 8 x 6 mm, GPS: E 0618757, N 5503091 z ornice vně hradiště (ev. č. 36, obr. 6: 2);

16. destička ze slitiny mědi s protilehlými otvory, rozměry: 57 x 39 x 1 mm, GPS: E 0618747, N 5503058, z ornice vně hradiště (ev. č. 37, obr. 2: 10);

17. hranolek kovu s trnem z mědi nebo její slitiny, rozměry: 32 x 12 x 6 mm, GPS: E 618708, N 5503301, z ornice na zatravněné akropoli (ev. č. 39, obr. 6: 3);

18. bronzové pukličkovité kování, rozměry: 16 x 13 x 7 mm, GPS: E 0618758, N 5503400, z ornice na zatravněném předhradí (ev. č. 42, obr. 2: 11);

19. bronzová prohnutá tyčinka nebo část kroužku, rozměry: 32 x 7 x 6 mm, GPS: E 0618831, N 5503590, z ornice na zatravněné akropoli (ev. č. 50, obr. 2: 7).

## 2.2 Analýza artefaktů

Jediným spolehlivě rozpoznáním spínadlem je lučičk římsko-provinciální spony typu A 84 (obr. 2: 1). Tato spínadla jsou považována za charakteristického zástupce fáze B2b s vyzníváním v B2/



C1, tedy s datací do druhé třetiny či druhé poloviny 2. století (viz *Sedlmayer 1995*, 29, 30; *Tejral 2008*, 70). Spony typu A 84 patří k běžně se vyskytujícím výrobkům v podunajských provinciích i na území barbarika (*Horník/Jílek/Militký/Kmošek 2020*, 59, 60 s další literaturou) včetně prostoru Malé Hané (*Droberjar 2020; Vích 2014*).

Samostatnou pozornost zasluhuje bronzové trubkovité kování řemení (obr. 2: 2; 6: 1). Kompletně dochovaný artefakt je plochý s otvorem v jednom cípu, charakteristické nýtky pro připevnění na kožený podklad chybí, přičemž se nejedná o druhotnou úpravu, ale nýtky nebyly zjevně primární součástí artefaktu již při výrobě. Tyto artefakty tvořily součást opaskových garnitur typu Klosterneuburg. V jejich tvaru se podle *T. Fischera (2012, 122, 336, 338, Abb. 128)* zrcadlí nový styl výrazně inspirovaný laténskými a gallořímskými-britanořímskými vzory (*Bishop/Coulston 2009*, 144). Proměnu stylu opaskových garnitur ve druhé polovině 2. století také dobře charakterizuje prolamování a ažurování, které umožnilo světelný kontrast kování a řemení, to bylo totiž často sytě červeně zbarveno (*Hoss 2017*, 91–93, Fig. 14: f). Popisované kování se blíží typu Oldenstein 897 (*Oldenstein 1976*, 271, Taf. 69: 897), od kterého se však odlišuje absencí kroužku, a naopak přítomností středových příček vzniklých vytažením trubkovitého motivu. Přesněji pak spadá k typu B15 podle *J. Nicolaye (2007, 53, Pl. 78: 195–12)*. Tuto skupinu nálezů známe především z území římského impéria, přičemž jako vhodné analogie k našemu nálezu poslouží příklady z Carnunta (*Beutler et al. 2017*, 240, no. 221), Novae (*Gacuta 1993*, 44, Tabl. XXIX: 1) a Burgenae (*Radman-Livaja 2008*, 298, no. 19). S podobnými kováními se setkáváme na rozsáhlém území v místech pobytu římské armády v časech od poloviny 2. století po první desetiletí 3. století (*Ciugudean 2017*, 355, 356; *Oldenstein 1976*, 205–207; *Tejral 1994*, 44). Typická jsou především pro období markomanských válek (*Voss 2016*, 717, Abb. 5). Z území

někdejšího Československa známe blízké nálezy z jihozápadního Slovenska z Radvaně nad Dunajom (*Hüssen/Rajtár 1994*, 220, Abb. 6: 6), Mušova – Burgstallu (*Droberjar 1994*, 76, Abb. 2: 1; 3) a Přisnotic (*Komoróczy 2009*, 118, Abb. 8/9). Optimum výskytu trubkovitých kování můžeme bez rozpaků zařadit do úseku od poloviny 2. století až do počátku 3. věku (*Oldenstein 1976*, 207), postupně vyznívají pak registrujeme v průběhu první poloviny 3. století (*Fischer 2012*, 122).

Rovněž třetí předmět se přímo váže k římské vojenské výstroji v období střední doby římské. Jde o bronzový nýt z přílby typu Niederbieber (obr. 2: 3; 6: 4; *Fischer 2012*, 153, 154). Tyto přílby byly římským vojskem užívány od druhé poloviny 2. století do poloviny 3. věku (*Fischer 2012*, 337, 339, 344, Abb. 493:13–14; *týž 2013*, 202; *Gschwind 2004*, 124). Tři fragmenty přílby včetně analogického knoflíkovitého ukončení pochází z k. ú. Zadní Arnoštov, polohy „V dílcích“ vzdálené jen asi 750 m jihovýchodním směrem od prezentovaného kusu (*Droberjar/Jarůšková 2018*, 659, obr. 5).<sup>5</sup> Další nýt lze doložit na barbarském sídlišti v Cerekvici nad Loučnou (*Vích et al. 2019*, 161, obr. 52: 8, 54: 7).

Ostatní památky pouze doplňují nálezový obraz na lokalitě. Kování (obr. 2: 5) se svým tvarem částečně podobá některým součástem římských koňských postrojů (např. *Radman-Livaja 2004*, Tabl. 61, 62; *Deschler-Erb 1999*, 175, Taf. 35: 666–678, 36: 679–683; *Unz/Deschler-Erb 1997*, 45, 46, Taf. 61: 1675–1693) nebo závěsům picích rohů (*Andrzejowski 1991*, 59–64, ryc. 14; *Hladíková 2019*, 180, obr. 2: 4; *Zeman et al. 2017*, 142, obr. 40: 14, 15). Problém však spočívá v absenci nýtů a záchytných žeber.

Chronologicky neurčitelné zůstávají rovněž bronzové kroužky a jejich části (obr. 2: 6–9), plech (obr. 2: 10) a výrazně členěný artefakt (obr. 2: 4). Zlomky plechů s nýty snad mohou být součástí věder a kotlů, ovšem pouze s intervalovým datováním. Profilovaný předmět pak svým tvarováním odpovídá stylistice kruhových šperků

<sup>5</sup> Nálezů z této polohy je více, bude však nutné jim věnovat samostatnou pozornost, protože jsou rozptýleny mezi minimálně čtyři instituce. V citované práci bohužel kromě vágního uvedení katastrálního území a názvu trati chybí přesnější prostorová fixace, o zaměření jednotlivých nálezů alespoň ruční stanicí GPS ani nemluvě. Zároveň chybí, byť jen minimální informace o místě uložení nálezů, což je škoda, protože zde publikovaný aureus císaře Nerona zmizel na černém trhu. Jeho alespoň fotografická dokumentace je nepochybnou zásluhou autorů.

a spon doby laténské (srv. např. *Suchopárová/Holbová/Kravciv 2019*, 23–25, obr. 2: 16; 4). Samostatnou pozornost zasluhují hranoly neželezného kovu představující ingoty (obr. 6: 2, 3). Ty patří k častým nálezům v souborech, které lze spojit se zpracováním římského kovového šrotu a představují zásobu kovu určeného pro další zpracování (*Baumeister 2004*, 91; *Vích et al. 2020*, tam i další literatura), spojitost s dobou římskou však zůstává otevřena.

### 2.3 Numismatická analýza

Výraznou součástí nálezového souboru předmětů datovatelných do průběhu doby římské z areálu mařínského hradiště reprezentují římské mince objevené v letech 2016–2017 (obr. 5: 1–6). V kategorii jasně zařaditelných předmětů jde dokonce o nejpočetnější skupinu artefaktů z této lokality. Zde ovšem opět narážíme na limity realizovaných profesionálních průzkumů s detektory kovů, tedy pokud jde o jejich intenzitu a charakter zkoumaných povrchů – jako značný problém se jeví např. absence orby v tomto prostoru, a nemožnost (či spíše neefektivnost) opakované prospekce. Nemáme také žádné informace o nálezech pocházejících z nelegálních prospekci s detektory kovů, při kterých mohly být objeveny další mince.

Z hlediska prostorové distribuce je zřejmé, že celkem pět ražeb bylo nalezeno v prostoru akropole (obr. 5: 1–3, 5–6), pouze jediná pak pochází z prostoru západního předhradí (obr. 5: 4). Z prostorového rozšíření lze odvodit, že se jedná o tzv. ztrátové mince, resp. o mince netvořící žádný primární společný nálezový celek ve smyslu orbou rozrušeného hromadného nálezu.<sup>6</sup> Jestli se však mince dostaly do země skutečně jako ztráty nebo záměrně jako výsledek rituální/kultovní činnosti, není možné rozhodnout.

Z nominálového hlediska je kolekce tvořena třemi denáry, po jednom exempláři je zde zastoupen sestercius, as a neurčitelný bronzový nominál. Z chronologického hlediska jde o ražby vymezené lety 88/9 až 156/7, resp. 145/161.

Nejstarší mincí ve sledované kolekci je denár (obr. 5: 1) císaře Domitiana (81–96), ražený

v Římě (RIC 2/12, č. 666). Jde o ražbu s rubním motivem stojící Minervy ve zbroji doleva držící kopí svisle, kterou lze na základě rubního popisu IMP XVIII COS XIII CENS P P P spolehlivě datovat do let 88–89. Motiv stojící Minervy na rubu je u Domitianových mincí velice častý. Povrch rubní strany sledovaného exempláře je poškozen plošnou korozi, což je zřejmě odrazem značně agresivního půdního prostředí.

Chronologicky následnou mincí je denár (obr. 5: 2) císaře Traiana (98–117) z mincovny Řím (RIC 2, č. 128). Podle nové chronologie ražeb tohoto panovníka byl vydán asi v letech 107–108 (MIR 14, č. 270b). Na líci je zobrazeno poprsí panovníka s drapérií na levém rameni s opisem IMP TRAIANO AVG GER DAC P M TR P. Na rubu je motiv stojící Viktorie doleva držící palmovou ratolest a věnec s opisem COS V P P SPQR OPTIMO PRINC. Motiv Viktorie je reflexí anexe Dákie v roce 106 a tento fakt připomíná i titul DAC(icus) v lícním popisu, a zřejmě i připojením Arábie k římské říši ve stejném roce.

Celkem třemi ražbami jsou v souboru zastoupeny mince Antonina Pia (138–161), reprezentované denárem, sesterciem a asem. Mincovníctví Antonina Pia, na rozdíl od obou předchozích panovníků, nebylo zatím nově revidováno a zpracováno, a tedy i chronologie jeho ražeb zatím nebyla kriticky korigována – je však zřejmé, že po budoucím novém zpracování dozná určitých korekcí.

Denár (obr. 5: 3) nese na líci ověnčenou hlavu panovníka s opisem ANTONINVS AVG PIVS P P TR P COS III. Na rubu je stojící Viktorie doleva držící palmovou ratolest a věnec s opisem IMPERATOR•II – v tomto případě jde však pouze o obecnou politickou proklamaci vítězného Říma bez přímé vazby na konkrétní aktuální vojenské úspěchy. Mince byla ražena v Římě podle stávající chronologie v letech 143–144? (RIC 3, č. 111b; BMC RE 4, č. 496).

Spolehlivě datovatelný je sestercius (obr. 5: 4) ražený v Římě v letech 156–157 (RIC 3, č. 964; BMC RE 4, č. 2014). Na lící straně je ověněná hlava Antonina Pia doprava s jen částečně čitelným opisem ANTONINVS AVG PIVS P P

<sup>6</sup> Tři denáry objevené při jižním okraji akropole (obr. 1; 17 výřez dole) zcela hypoteticky mohly být i součástí drobného hromadného nálezu, je to však málo pravděpodobné.

IMP II. Na rubu je zobrazena stojící Annona doprava držící modius s klasy a vlevo svislé dlouhé kormidlo na globu, levou nohu má nakročenou na lodní přídi. Rubní opis je TR POT XX COS III / S-C – právě zkratka TR POT XX umožňuje spolehlivé datování této ražby. Annona je velmi častou personifikací zobrazovanou na římských mincích a představuje roční výnos (obilí) a také zásobování Říma obilím (*Kurz 2006*, 130).

Třetí ražbou Antonina Pia je značně otřelý as (obr. 5: 5), který se však podařilo přesně určit. Byl ražen v Římě v širokém rozmezí let 145–161 (*RIC 3*, č. 827b), tedy v období zahrnujícím většinu doby vlády tohoto panovníka – je pravděpodobné, že v budoucnu se takto široký interval podaří zpřesnit. Na líci je ověšené poprsí Antonina Pia v krunýři doprava s nečitelným opisem ANTONINVS AVG PIVS P P TR P COS III. Na rubu je ve věnci čtyřřádkový nápis SPQR / OPTIMO / PRINCIPI / S.C.

Poslední ražbou pocházející z areálu mařínského hradiště je silně otřelá přesněji neurčitelná mince o průměru 21 mm s hmotností 3,182 g (obr. 5: 6) – povrchová vrstva této ražby je zcela odkorodována. Na líci je v hrubých obrysech čitelná hlava neurčitelného panovníka, na rubu stojící ženská (?) postava doleva, opisy jsou zcela nečitelné. Jen obecně a s výhradami lze ražbu zařadit podle charakteru obrysu hlavy do 2. století. Pro římský měnový systém jde však o atypický nominál menší než as a je možné, že se jedná o nějakou provinciální ražbu, kde se nominály této velikosti a hmotnosti vyráběly zcela běžně. S ohledem na zachovalost je však přesnější zařazení zcela nemožné.

### 3. ZADNÍ ARNOŠTOV – POLOHA „NA ŽLÍBCÍCH“

S dalšími artefakty z doby římské se setkáváme v prostoru mezi Jevíčkem a mařínským hradištěm jižně od silnice Jevíčko – Zadní Arnoštov v poloze označované pomístním názvem „Na Žlíbcích“ (k. ú. Zadní Arnoštov).<sup>7</sup> Zmíněný prostor byl podle řady nálezů využíván jako komunikace spojující v raném středověku úrodnou Malou

Hanou (především zaniklé sídliště u kostela sv. Bartoloměje poblíž Jevíčka) a mařínského hradiště, což dokládají i relikty úvozových cest dochovaných přízračně v nejstrmějším úseku. Stranou pozornosti však tato místa nezůstala ani v době bronzové, laténské a římské.

#### 3.1 Soupis nálezů

20. bronzové peltoidní nákončí pochvy meče typu Miks 36, rozměry: 62 x 50 x 9 mm, GPS: E 0619710, N 5501128, hl. 11 cm, z toho 4 cm ve sterilním podloží (ev. č. 3, obr. 3: 3; 7: 1);

21. bronzová římsko-provinciální kolínkovitá spona s polokruhovitou záhlavní destičkou typu Jobst 13D, jehla odlomena, rozměry: 41 x 25 x 19 mm, GPS: E 0619725, N 5501184, hl. 12 cm, z toho 6 cm ve sterilním podloží (ev. č. 4, obr. 3: 5);

22. bronzová spona s hraněným dvojkónickým knoflíkem na lučíku a s železnou osičkou, jehla odlomena, nožku ukončuje ploška, střežovitě hraněný lučík nese při hlavici z jedné strany rytou výzdobu v podobě dvou protilehlých půlobloučků se středovým bodem, rozměry: 62 x 29 x 28 mm, GPS: E 0619752, N 5501128, hl. 20 cm, z toho 12 cm ve sterilním podloží (ev. č. 7, obr. 3: 1; 6: 5);

23. bronzová římsko-provinciální kolínkovitá spona s polokruhovitou záhlavní destičkou typu Jobst 13E, jehla odlomena, rozměry: 30 x 17 x 16 mm, GPS: E 0619474, N 5501183, hl. 11 cm, z toho 9 cm ve sterilním podloží (ev. č. 94, obr. 3: 6);

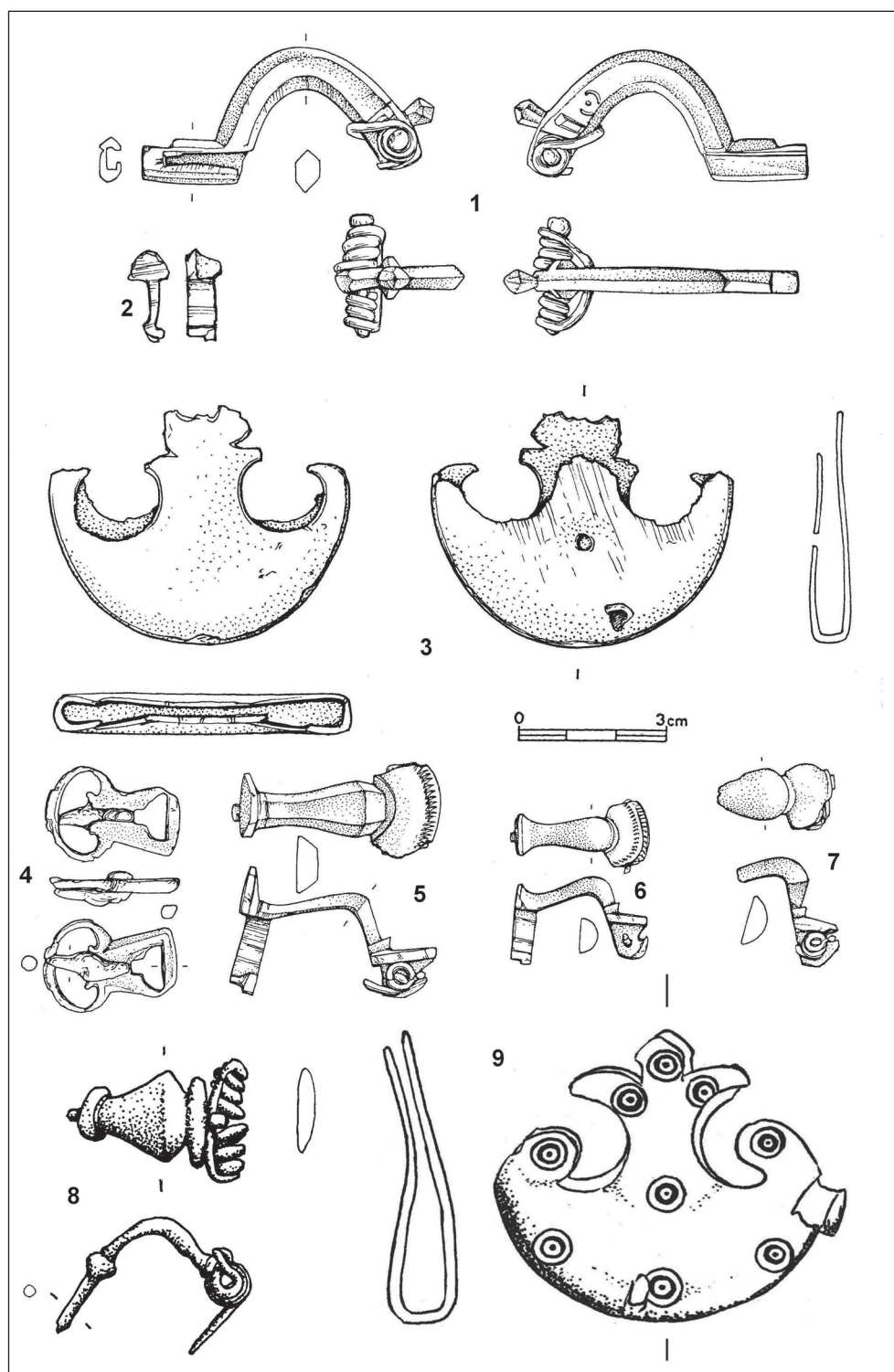
24. část lučíku bronzové římsko-provinciální kolínkovité spony s polokruhovitou záhlavní destičkou typu Jobst 13C, rozměry: 27 x 16 x 13 mm, GPS: E 0619606, N 5501175, hl. 4 cm na rozhraní lesní humusové vrstvy a sterilního podloží (ev. č. 101, obr. 3: 7);

25. nožka římsko-provinciální bronzové kolínkovité spony s polokruhovitou záhlavní destičkou, rozměry: 21 x 11 x 10 mm, GPS: E 0619633, N 5501183, hl. 10 cm, z toho 2 cm ve sterilním podloží (ev. č. 102, obr. 3: 2);

26. bronzová přezka s peltoidním rámečkem blížká typu Oldenstein 1004/1014, rozměry: 29 x 20 x 9 mm, GPS: E 0619716, N 5501148, hl. 15 cm, z toho 10 cm v podloží (ev. č. 146, obr. 3: 4; 6: 6);

27. pět fragmentů stěn a okraje s atáší trojúhelníkovitého tvaru westlandkého kotle typu Hauken 2 s ven vykloněným okrajem trojúhelníkovité profilace, rozměry:

<sup>7</sup> Pomístní označení „Na Žlíbcích“ bylo postupně vztaženo na celý hřeben. Zájmový prostor zasahuje vedle k. ú. Zadní Arnoštov také k. ú. Bělá u Jevíčka a Jevíčko-předměstí.



**Obr. 3.** Zadní Arnoštov „Na Žlábkách“. Nálezy (kresba M. Černý, K. Pechancová, 9 podle Němcová et al. 2020).

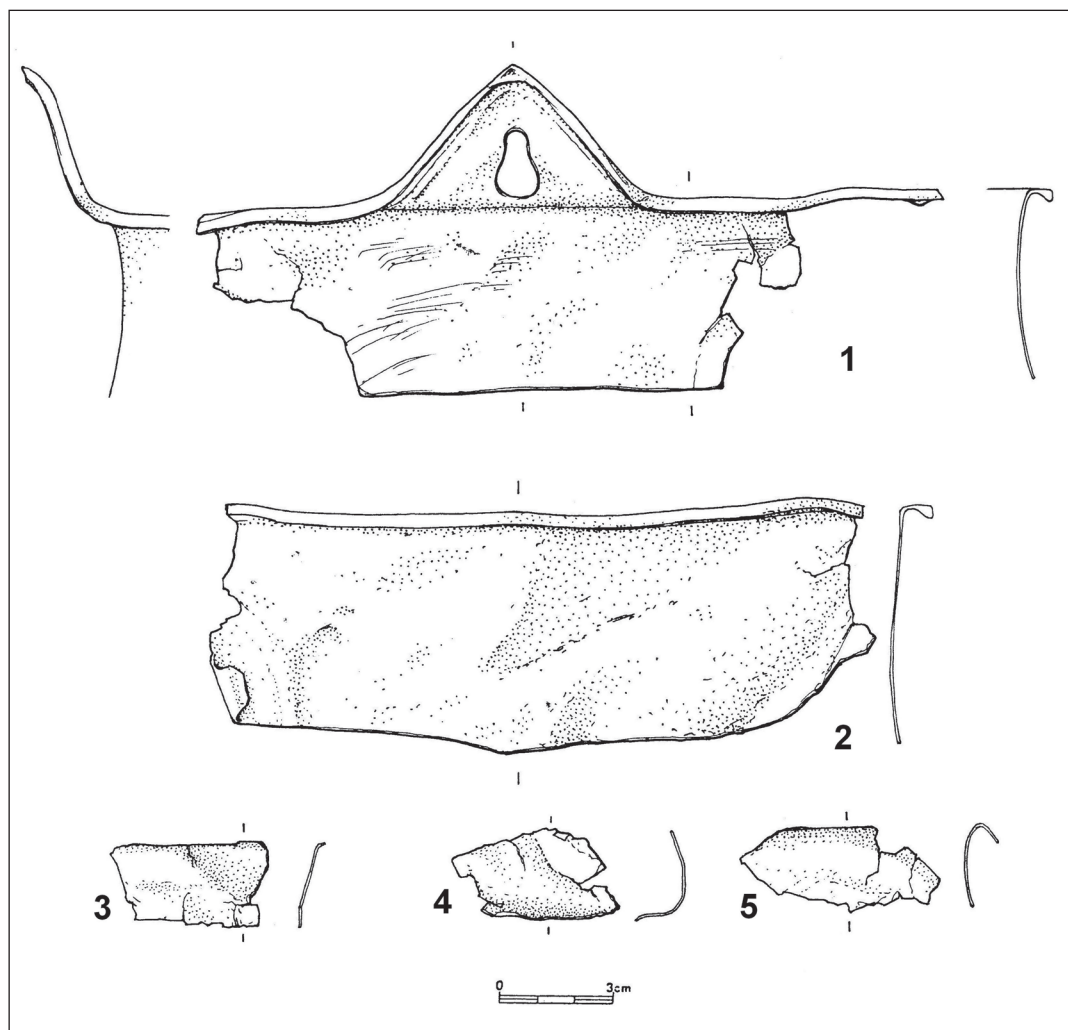
**Fig. 3.** Zadní Arnoštov “Na Žlábkách”. Finds (drawing M. Černý, K. Pechancová, 9 according to Němcová et al. 2020).

195 x 94 x 12 mm; 173 x 63 x 9 mm, GPS: E 0620047, N 5501124, hl. 40 cm, z toho 35 cm ve sterilním podloží (ev. č. 151, obr. 4: 1–5; 6: 7);

28. část lučičku a hlavice bronzové výrazně členěné spony typu A 69, rozměry: 41 x 32 x 26 mm, GPS: E

0620079, N 5501741, hl. 9 cm, z toho 5 cm ve sterilním podloží (ev. č. 315, obr. 3: 8);

29. bronzové kování pochvy meče typu Miks 36 opatřené výzdobou v podobě puncovaných koncentrických kroužků, rozměry: 59 x 53 x 7 mm, okolí bodu



**Obr. 4.** Zadní Arnoštov „Na Žlábčích“. Torzo westlandského kotle (kresba M. Černý).  
**Fig. 4.** Zadní Arnoštov “Na Žlábčích”. Torso of a Westland cauldron (drawing by M. Černý).

GPS: E 0618456, N 5502414, v hloubce 35 cm, z toho 15 cm tvoří lesní humusová vrstva (ev. č. 324, obr. 3: 9; 7: 2).

### 3.2 Mince

30. Řím-císařství, **Hadrianus** (117–138), *neznámá falzátorská dílna*, AE denár – lité falzum, „119–120“, „skupina Ib“

Av.: IMP CAESAR TRAIAN HADRIANVS AVG, ověčené poprsí Hadriana doprava s drapérií na levém rameni

Rv.: P M TR P-COS III, stojící Pax doleva drží dlouhé žezlo svisle a ratolest

Lit.: *RIC* 2/3, 89, jako č. 225, jako Pl. 7: 225; *BMC RE* 3, 264, jako č. 194.

90. 2,490 g; 19,5/17,6 mm; 6 h (obr. 5: 7)

Lok.: GPS: E 0619364, N 5501226; 22.10. 2016.

31. **Neurčitelný panovník** (1.–2. století), AE as  
 Av.: opis nečitelný, hlava panovníka

Rv.: opis nečitelný, stojící ženská (?) postava doleva

Lit.: –.

9. 6,190 g; 23,8/22,7 mm; 12 h (obr. 5: 8)

Lok.: GPS: E 0619909, N 5501108; 29.8. 2016.

### 3.3 Analýza artefaktů

Chronologicky nejstarším nálezem souboru je bezesporu fragment římsko-provinciální výrazně profilované spony typu A 69 (obr. 3: 8), který lze zařadit do druhé poloviny 1. století po Kr., a to především do flaviovského období (fáze B1c; *Schmid 2010*, 21, 22, Taf. 3: 21–27; podrobně viz *Zeman et al. 2017*, 70, obr. 12: 1–9). Postupné vyznívání oblíbenosti těchto spínadel lze hledat v prvních desetiletích 2. století.



**Obr. 5.** Mince. 1–6 Mařínské hradiště, 7–8 Zadní Arnoštov „Na Žlábkách“ (foto Abalon s. r. o.).  
**Fig. 5.** Coins. 1–6 Mařín hillfort, 7–8 Zadní Arnoštov “Na Žlábkách” (photograph by Abalon s. r. o.).

V souboru máme zastoupeny čtyři kusy kolínkovitých římsko-provinciálních spon s polokruhovitou záhlavní destičkou (obr. 3: 2, 5–7). Zatímco patka spony s vysokým zachycovačem

u jednoho exempláře (obr. 3: 2) další klasifikaci neumožňuje, u zbývajících exemplářů disponujeme částí s polokruhovitou záhlavní destičkou dovolující jemnější třídění. Jedno spínadlo

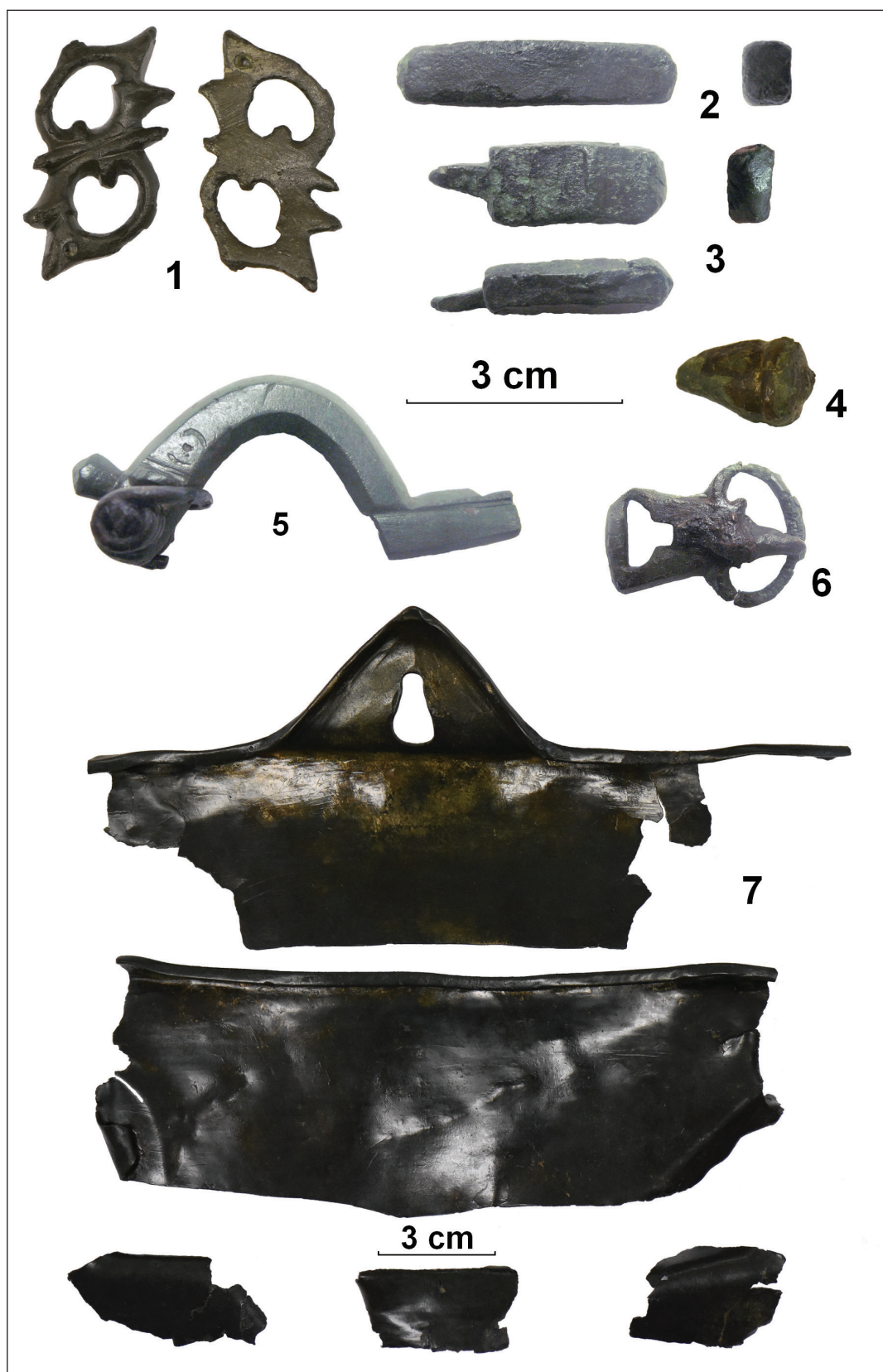
(obr. 3: 7) odpovídá typu Jobst 13C s nezdobenou polokruhovitou záhlavní destičkou, další typu Jobst 13D (obr. 3: 5) se záhlavní destičkou zdobenou motivem „vlčích zubů“ a poslední sponu řadí výzdoba záhlavní destičky k typu Jobst 13E (obr. 3: 6; *Jobst 1975*, 65–68). Počátek intenzivního rozšíření spon typu Jobst 13C a 13D lze hledat v polovině 2. století. Na základě jejich četného výskytu ve vojenských kontextech jsou považovány za šatní doplňky římského vojska (*Elschek 2017*, 76, 78, Abb. 3; *Zeman et al. 2017*, 78, zde i další literatura). Konec jejich obliby je v podunajských provinciích těžko rozpoznatelný, můžeme však konstatovat, že postupně vyznívají až do počátku 4. století (*Schmid 2010*, 37). V barbariku se s nimi setkáváme nejvíce v časové sekvenci od poloviny 2. století po počátek 3. století, kdy registrujeme také jejich nejintenzivnější užívání v římských provinciích (*Droberjar 2012*, 123; *Olędzki 2007*, 116; *Sedlmayer 1995*, 45; *Zeman et al. 2017*, 80). Chronologie spínadla typu Jobst 13E se zdá být poněkud delší. V noricko-pannonských provinciálních kontextech jsou exempláře tohoto typu doloženy především až v mladší době římské (*Droberjar 2012*, 121; *Jobst 1975*, 67; *Schmid 2010*, 35–37; *Zeman et al. 2017*, 80).

Spony s hraněným dvoukónickým knoflíkem na lučíku reprezentuje jeden téměř kompletně dochovaný bronzový exemplář (obr. 3: 1; 6: 5). Spínadlo lze velmi obtížně zařadit do některé ze sérií vytvořených *E. Meyerem* (1960, 229). Problém spočívá ve skutečnosti, že spona obsahuje prvky z více sérií, což nepřekvapí, neboť jako problematické označil toto třídění již *R. Koch* (1974, 236). Tak např. šestihranný profil lučíku je typický pro II., III. sérii a pro nezařaditelné kusy. Naopak výzdoba je signifikantní pro I. sérii a nezařaditelné jedince. Hraněný dvoukónický knoflík je charakteristický pro IV. sérii (*Meyer 1960*,

226–232). Tvarově blízké příklady lze vysledovat i u některých spon typu Leutkirch (*Voss 1998*, 272, Abb. 2: 1, 2). S touto pozdní formou se kus ze Zadního Arnoštova shoduje především v masivním provedení a v přítomnosti dvoukónického fasetovaného knoflíku (srv. *Bemmann 2008*, 29–31, Abb. 7: 4; *Droberjar 2015*, 713, obr. 2: 1). Nicméně od eponymního nálezu se odlišuje menším knoflíkem, který postrádá výrazné rovnoměrné rozdělení na dva segmenty (srv. *Koch 1974*, 237, Abb. 5: 1). Další vzdálenější paralely lze doložit v rámci IV. série, 3. varianty. Zmíňme sponu z Alkofenu u Kelheimu a zlomek z lokality Geisskopf (*Hoepfer 2003*, 46, Taf. 1: A5; *Meyer 1960*, 258, 259, Abb. 2). Chronologie spon s knoflíkem na lučíku odpovídá samému konci stupně C2 (270–320), zejména však stupni C3, kde počítáme s jejich největší oblibou. Postupné vyznívání je pak třeba hledat v počátcích doby stěhování národů (naposledy *Horník/Kmošek 2020*; *Jílek/Horník/Kopřivová 2019*, 180–182).

Z polohy „Na Žlábkách“ registrujeme i součásti římské vojenské výstroje. Na prvním místě je třeba jmenovat bronzové peltoidní kování pochvy meče typu Miks 36 (obr. 3: 3; 7: 1; *Miks 2007*, 333, 334, Taf. 241: B29: 4, B84: 1). Nákončí je formováno do podoby pelty, velmi oblíbeného motivu řecko-římské antiky<sup>8</sup> (*James 2004*, 51). Srovnatelná kování pochev mečů jsou známá z římských provincií. Uvedme výběrem nálezy z Bavorska (*Haberstroh 1996*, 342, Abb. 3: 7) a Srbska (*Vujović 2013*, 37, Pl. 5: 6), které však bohužel nedisponují pro své nálezové okolnosti přílišnou vypovídací hodnotou (*Miks 2007*, 784, 804, Taf. 241: B29: 4, B84: 1). Vzdálenější paralelu představuje exemplář z Dura Europos spadající do druhé poloviny 2. století až první poloviny 3. věku (*James 2004*, 156, Fig. 91: 579; *Miks 2007*, 802). Z prostředí barbarika stojí za zmínku

<sup>8</sup> Tento tradiční výzdobný prvek nabyl nové popularity v období střední doby římské, kdy zejména ve 2. polovině 2. století evidujeme stylové archaizující tendence patrné na dekoru některých militarií (obecně k těmto tendencím *Miks 2017*, 125–127, Abb. 12; *Waurick 1983*, 298–301). Oblibu peltoidních motivů reflektovaly i některé umělecké sochařské památky antoninovského období, zvláště znázornění personifikace konvenčně označované jako „Scythie“ (?) z jednoho z reliéfních panelů římského Hadrianea (obr. 8; *Sapelli 1999*, 28–31, pl. 1–6; k interpretaci reliéfní výzdoby *Hughes 2009*, 1–10; *Juhász 2018*, 90–95). Nesmíme také opomenout vybrané reliéfní výjevy na sloupu císaře Marca Aurelia (*Bischof/Coulston 2009*, 6, 133; *Miks 2017*, Abb. 11: D–G). Volba tohoto tvaru však nebude podle *S. Hoss* (2015, 203, 204) zřejmě pouze otázkou dobového vkusu, neboť peltoidnímu dekoru bývala připisována apotropaická funkce. Rozkvět používání této symboliky v 2. polovině 2. a ve 3. století, může dávat s ohledem na historické souvislosti smysl (*Hoss 2017*, 93). Počátky obliby studovaných nákončí však můžeme hledat již ve 40. letech 2. století. Dokládá to znázornění podobného nákončí (obr. 8) na již zmíněném reliéfu z římského Hadrianea, který nechal vystavět pro svého adoptivního otce císař Antoninus Pius (138–161; k dataci památky viz *Claridge 2010*, 223–226).



Obr. 6. Vybrané artefakty z neželezných kovů. 1–4 Mařínské hradiště, 5–7 Zadní Arnoštov „Na Žlábkách“ (foto D. Vích, větší měřítko – artefakty 1–6, menší měřítko – artefakty č. 7).

Fig. 6. Selected artefacts made of non-ferrous metals. 1–4 Mařín hillfort, 5–7 Zadní Arnoštov “Na Žlábkách” (photograph by D. Vích, larger scale – artefacts 1–6, smaller scale – artefacts no. 7).





Obr. 7. Zadní Arnoštov a Bělá u Jevíčka „Na Žlábkách“, nákončí pochev mečů (1 – foto D. Vích, 2 – podle Němcová et al. 2020).

Fig. 7. Zadní Arnoštov and Bělá u Jevíčka “Na Žlábkách” chape of a sword (1 – photograph by D. Vích, 2 – according to Němcová et al. 2020).

fragmentárně dochovaný nález z lokality Midlum v Dolním Sasku, datovaný od poloviny 2. století do poloviny 3. století (CRFB-D4, 130, Taf. 119: 8, XXI-02-17/2.1). Z daného prostoru, ale již z k. ú. Bělá u Jevíčka, pochází další bronzové nákončí typu Miks 36 (obr. 3: 9; 7: 2; Němcová et al. 2020, 47, Tab. 1), které můžeme zařadit do střední doby římské. Charakter nálezových okolností je identický jako u kusu z polohy „Na Žlábkách“. Nákončí pochev římských mečů se v rámci území bývalého Československa nevyskytují příliš často, a to ani v nálezech z funerárního (Kaczanowski 1992, 42–47, Ryc. 11; Krekovič 1994, 220, Fig. 7: 1, 9; Musil 1994, 5, 6), ani sídlištního prostředí. Přítomnost dvou tvarově blízkých identicky datovaných exemplářů vzdálených od sebe necelé

dva kilometry v komunikačním koridoru zjevně nebude náhodná.

Jiným předmětem náležejícím k římskému vojenskému vybavení je bronzová peltoidní přezka typu Oldenstein 1004/1014 (obr. 3: 4; 6: 6; Oldenstein 1976, Taf. 75: 1004, 76: 1014). Její drobné rozměry odkazují na možnost, že se nutně nemuselo jednat jen o součást římského vojenského cingula, ale že mohla sloužit též pro zapínání řemení spojující obuv a ostruhu (srv. Radman-Livaja 2004, 94). Symbolický význam peltoidního tvaru mohly mít vedle nákončí pochev i takto tvarované přezky (Hoss 2015, 203, 204; táž 2017, 93). Přezky typu Oldenstein 1004/1014 a jim příbuzné jsou v římských kontextech známé především z období



**Obr. 8.** Analogie k nákončím ze Zadního Arnoštova a Bělé u Jevíčka. 1 – nákončí z Egloffsteinu-Schweinthalu (Bavorsko, podle Míks 2007), 2 – Bělehrad (Srbsko, podle Míks 2007), 3 – reliéfní znázornění jedné z personifikací římských provincií zdobící chrám božského Hadriana (Hadrianeum) v Římě a detaily meče a nákončí (Museo Archeologico Nazionale di Napoli, foto J. Jílek, bez měřítka).

**Fig. 8.** Analogy with the chape from Zadní Arnoštov and Bělá u Jevíčka. 1 – chape from Egloffstein-Schweinthal (Bavaria, according to Míks 2007), 2 – Belgrade (Serbia, according to Míks 2007), 3 – relief depiction of one of the personifications of the Roman provinces which ornaments the temple of the deified Hadrian (Hadrianeum) in Rome and details of the sword and chape (Museo Archeologico Nazionale di Napoli, photograph by J. Jílek, no scale).

od druhé čtvrtiny 2. století až první poloviny 3. věku s možným vyzníváním v jeho 2. třetině (Ciugudean 2012, 114–117; Lenz 2006, 33, Taf. 71: 672, 673; Maspoli 2014, 46, 47, 106, Abb. 5, Taf. 14: 81; Oldenstein 1976, 216; Radman-Livaja 2004, 94, Tabl. 42: 275, 276; Redžić 2013, 32, 33) a patří k velmi rozšířeným formám v římských provinciích (viz Oldenstein 1976, pozn. 719, zde i podrobný výčet referenčních příkladů; nově pak James 2004, 79; Redžić 2013, 32, 33). Pro datování jsou důležité hrobové kontexty z Carnun-

ta, kde se podobné nálezy vyskytly v hrobech č. 26 a 77 s mincemi císařů Hadriana a Alexandra Severa (Ertel et al. 1999, 72, pozn. 411, Taf. 25: 8; 77: 9). Pro území středního a horního Podunají je klíčový výskyt popisovaných artefaktů a jim příbuzných variant v kontextech souvisejících s bouřlivými okolnostmi markomanských válek, výmluvnými důkazy jsou především příklady z římského dřevozemního kastelu v Iži (Rajtár 1994, 93, Abb. 8: 7), římského hrobu č. 4 v Radvání nad Dunajom (Hüssen/Rajtár 1994, 220, Abb. 6: 4/f), římské pevnosti v Mušově (Tejral 1994, 59, Abb. 15: 8) a římského vexilačního tábora v Einingu-Unterfeldu (Fischer 2012, 282, 283, 339; Jütting 1995, 163, Abb. 7: 39–41).

Soubor nálezů z polohy „Na Žlíbcích“ obohacují i fragmenty římské bronzové nádoby (obr. 4: 1–5; 6: 7). Jedná se o pět zlomků těla a okraje westlandského kotle typu Hauken 2 (Hauken 2005, Fig. 25), tyto nádoby patřily mezi římsko-provinciální kuchyňské vybavení (Leconte 2013, 241, Fig. 237: 12–15). Chronologie zmíněných tvarů je poměrně široká. K zatím ojedinělým atypicky časným příkladům patří polotovar kotle z depotu objeveného v civilním římském kontextu na lokalitě D’Hettange-Grande (dep. Moselle), který je předběžně datován na základě keramiky ve spálené vrstvě již na konec 2. století<sup>9</sup> (Hatt 1964, 340; Kaufmann-Heinimann 1998, 252; Legendre 1996, 73). Více exemplářů známe z období začínajícího kolem roku 260 (závěr fáze C1b). Jejich vyznívání je pak hledáno v časné době merovejské – tedy v mladším stupni doby stěhování národů, resp. na konci 5. století a v první polovině 6. století (Bollingberg/Lund Hansen 2016, 135; Hauken 2005, 25–45, 60, Fig. 45; Hoeper 1999, 236, 237, zde i starší literatura; 2003, 106; Künzl 1993, 233; Schmitz-Pillmann 1997). Tradice výroby těchto nádob poté pokračovala i po pádu západořímské říše. Pozdní varianty pak představují typy Gotland a Donzdorf (Hoeper 1999, 237, Abb. 1).

V nálezových kontextech bývalého Československa se s tímto typem nádob setkáváme vůbec poprvé. Tato skutečnost poněkud kontrastuje s nálezy z prostředí západní Evropy, severovýchodního Německa a Skandinávie (Bollingberg/

<sup>9</sup> Součástí depotu měl být i zlomek hemoorského vědra, jejichž optimum výskytu je hledáno především v první polovině 3. věku. S ohledem na předběžné údaje o nálezu není datace na konec 2. století přijímána bez výhrad (Luik 2015, 127, 128, 132).

Lund Hansen 2016, Fig. 9; Hauken 2005, Fig. 2, 5; Hoeper 2003, Abb. 34). Na základě distribučních map nálezů v římském impériu, nečetných dokladů výroby a také prvkových analýz slitin neželezných kovů dnes víme, že původ těchto nádob je třeba hledat na širším území západních provincií Gallia Belgica, Aquitania, Germania Superior a Inferior (Bollingberg/Lund Hansen 2016, 173, 174; Hauken 2005, 49, 50; Künzl 1993, 233; Mustařa 2017, 67–69; Petrovszky/Bernhard 2016, 247, 252; Schmitz-Pillmann 1997, 54). Klíčové se zdá být zejména římské Porýní, a to především území provincií Gallia Belgica a Germania Superior, kde je nepřímo doložena fabrikace popisovaných kotlů. Dokládají ji polotovary a nedokončené kusy, které byly součástí inventářů depotů z lokalit Kaysersberg/Alspach a D’Hettange Grande. V případě nálezu z Alspachu spolu celek tvořily nedokončené kusy, finální výrobek a další předměty včetně náradí a ingotů (Hoeper 1999, 248; Legendre 1996, 67–76, Fig. 7–13; Mustařa 2017, 67–69, 245, Fig. 12:1–4).

### 3.4 Numismatická analýza

Dvě římské mince pocházejí také z druhé sledované polohy Zadní Arnoštov „Na Žlábčích“. Prvou z nich je dobové lité falzum denáru Hadriana (obr. 5: 7). Předlohu této ražby lze spolehlivě identifikovat – jde o denár ražený v Římě, podle nové chronologie v letech 119–120 (RIC 2/3, č. 225). Na lici je ověčené poprsí Hadriana doprava s drapérií na levém rameni s opisem IMP CAESAR TRAIAN HADRIANVS AVG. Na rubu je zobrazena stojící Pax doleva držící dlouhé žezlo svisle a ratolest a opisem P M TR P COS III. Také Pax je oblíbenou personifikací zobrazovanou na římských mincích, která představuje mír (Kurz 2006, 131). Jak již bylo uvedeno, sledovaný exemplář je dobové lité falzum z kovu neznámého složení – analýza nebyla provedena. Mince vznikla v neznámé falzátorské dílně, patrně na území římských provincií někdy po roce 119–120, možná i se značným časovým odstupem. S litými falzy se v souborech nálezových mincí z prostředí barbarika občas setkáváme, nejbliže např. v Chornicích (Militký/Vích 2011, 288, č. 10.1), souhrnně však zatím nebyla tato problematika vyhodnoce-

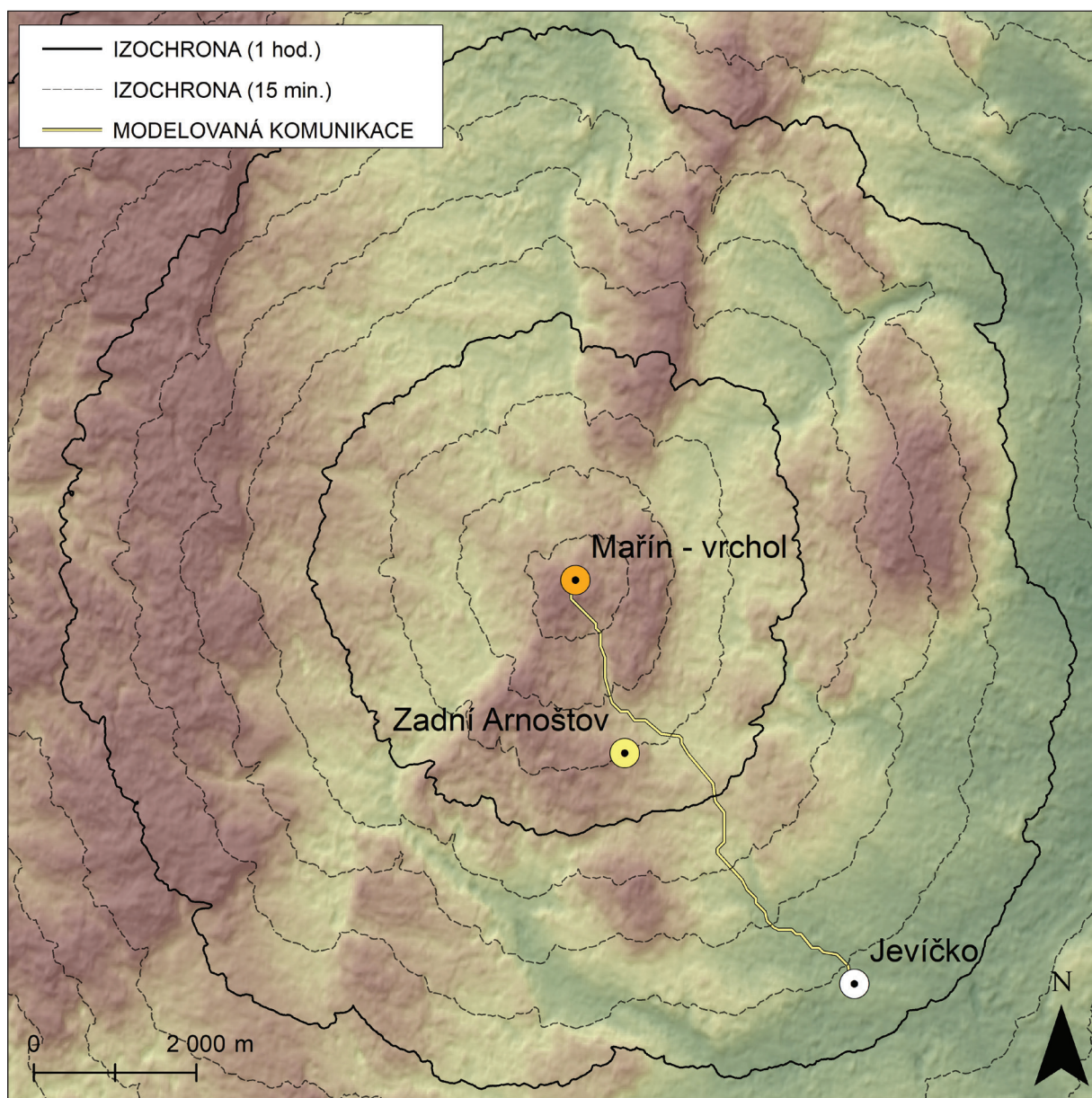
na. V každém případě byly tyto výrobky zapojovány také do peněžního importu směřujícího do barbarika, kde se zřejmě předpokládala menší schopnost jejich rozpoznání.

Druhou ražbou z polohy „Na Žlábčích“ je zcela otřelý a neurčitelný as (obr. 5: 8), jen zcela obecně datovatelný do průběhu 1.–2. století. Mince tak pouze doplňuje statistiku frekvence výskytu římských ražeb na lokalitě.

## 4. ANALÝZA PROSTUPNOSTI TERÉNU A VZÁJEMNÉ VIDITELNOSTI

Analýzy nákladových rastrů v prostředí GIS je možno obecně využít pro řešení badatelských otázek spjatých s pohybem krajinou a distribucí ideálních komunikačních koridorů, byť v kontextu římského období jsou zatím využívány spíše na úrovni větších geografických měřítek (Komoróczy/Vlach 2010; Vlach 2018). Při interpretaci výsledků je však vždy nutno zohlednit limity geografické analýzy, tedy fakt, že podoba výsledných modelů je vždy ve větší či menší míře odvislá od vstupních proměnných, stejně jako softwarového prostředí, resp. výpočetních algoritmů, jichž bylo využito (Danielisová 2008). Výsledky prezentované níže tedy představují jen jeden z možných modelů a je třeba je brát pouze jako orientační, v rámci možností je bude nutné dále testovat a upřesňovat. Primárním cílem bylo blíže prozkoumat vzájemný geografický vztah zjištěných nemovitých artefaktů římského období, které se nacházejí ve zkoumané oblasti, tedy především vztah mezi výšinnou lokalitou u Mařína a krátkodobým táborem lokalizovaným v intravilánu města Jevíčka.

Datovým podkladem pro analýzu provedenou v rámci této studie byl digitální elevační model s rozlišením buňky 30 x 30 m vybudovaný na bázi dat z modulu ASTER satelitu Terra. Pro analýzu časových nákladů průchodnosti terénem a tvorbu izochronní mapy bylo využito Toblerovy rovnice (Tobler 1993, Fig. II). Izochrony v intervalu jedné hodiny, resp. patnácti minut extrahované z rastru časových nákladů průchodu krajinou z výchozího bodu na vrcholu Mařínského hradiska ukazují, že obě lokality byly za ideálních podmínek vzájemně dostupné za čas o něco málo



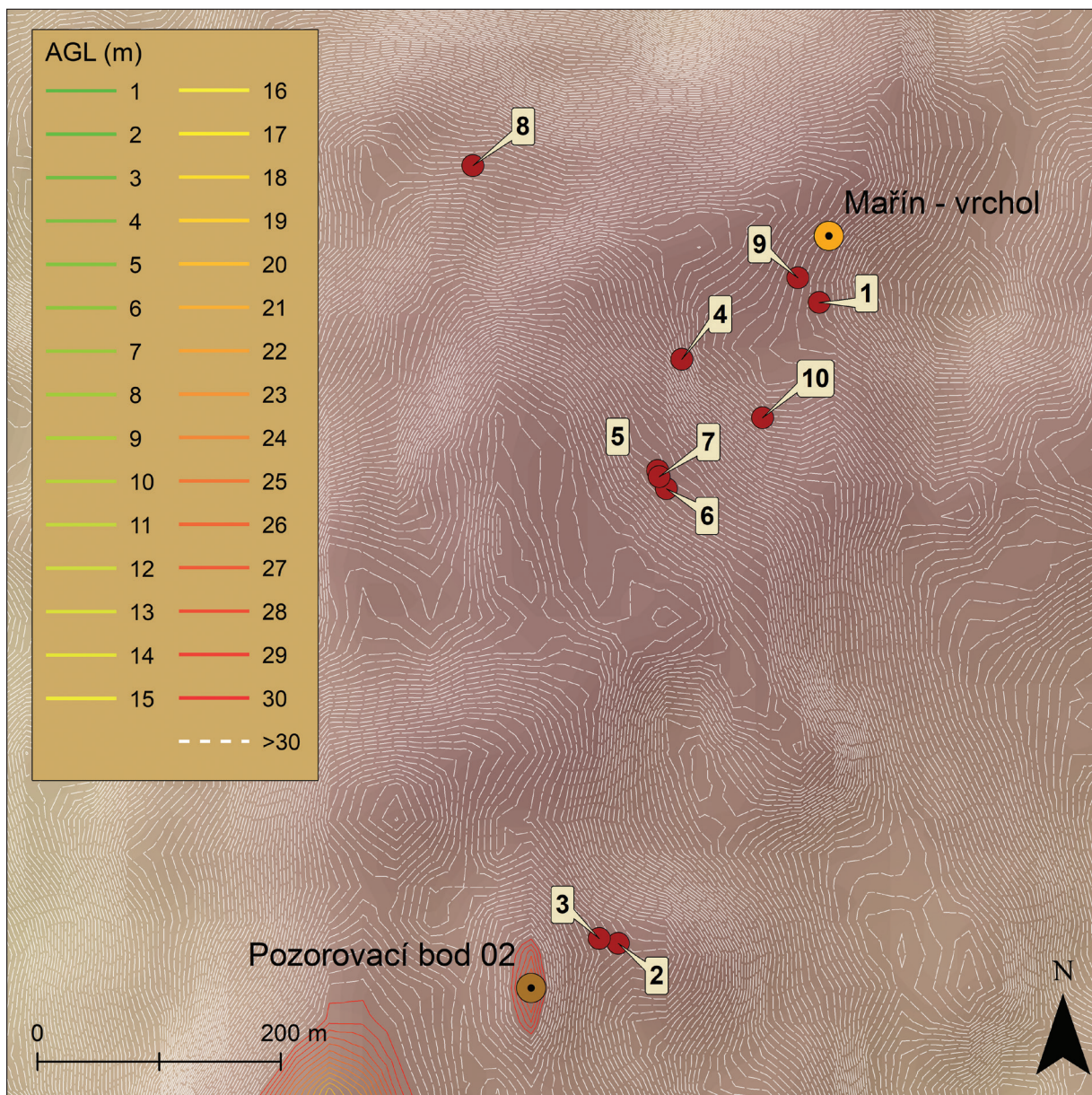
**Obr. 9.** Mapa minimálních časových nákladů při průchodu krajinou z vrcholu mařínského hradiska a ideální komunikační koridor mezi vrcholovým výchozím bodem a táborem v Jevíčku (autor M. Hlavica).

**Fig. 9.** Map of the minimal times to cross the land from the top of the Mařín hillfort and the ideal communication corridor between the top starting point and the camp in Jevíčko (author M. Hlavica).

kratší než 2 hodiny pěší chůze dobře prostupným terénem (obr. 9). Nejvhodnější komunikační koridor vypočítaný na bázi analýzy svažitosti terénu má délku něco málo pod 7 km a z východního, resp. severovýchodního směru obchází výšinnou polohu v Hrubém lese (531 m n. m.), v jejíž blízkosti se vyskytla druhá výraznější koncentrace nálezů (viz také obr. 1).

Druhým úkolem prostorové analýzy v prostředí GIS bylo modelování možností vzájemné

viditelnosti mezi mařínským hradiskem a krátkodobým táborem v Jevíčku (k této metodě viz např. *Komoróczy/Vlach/Hložek 2014, 777, 778, obr. 5, 6, tam i další literatura*). Cílem bylo testování hypotézy, zda je mezi oběma lokalitami možná přímá vizuální komunikace, či je přímá viditelnost konfigurací terénu znemožněna a případná vizuální signalizace by tak vyžadovala přítomnost dalšího komunikačního mezičlánku (srovnej s *Dyčka 2016, 60*). Úvodním krokem této analýzy byla

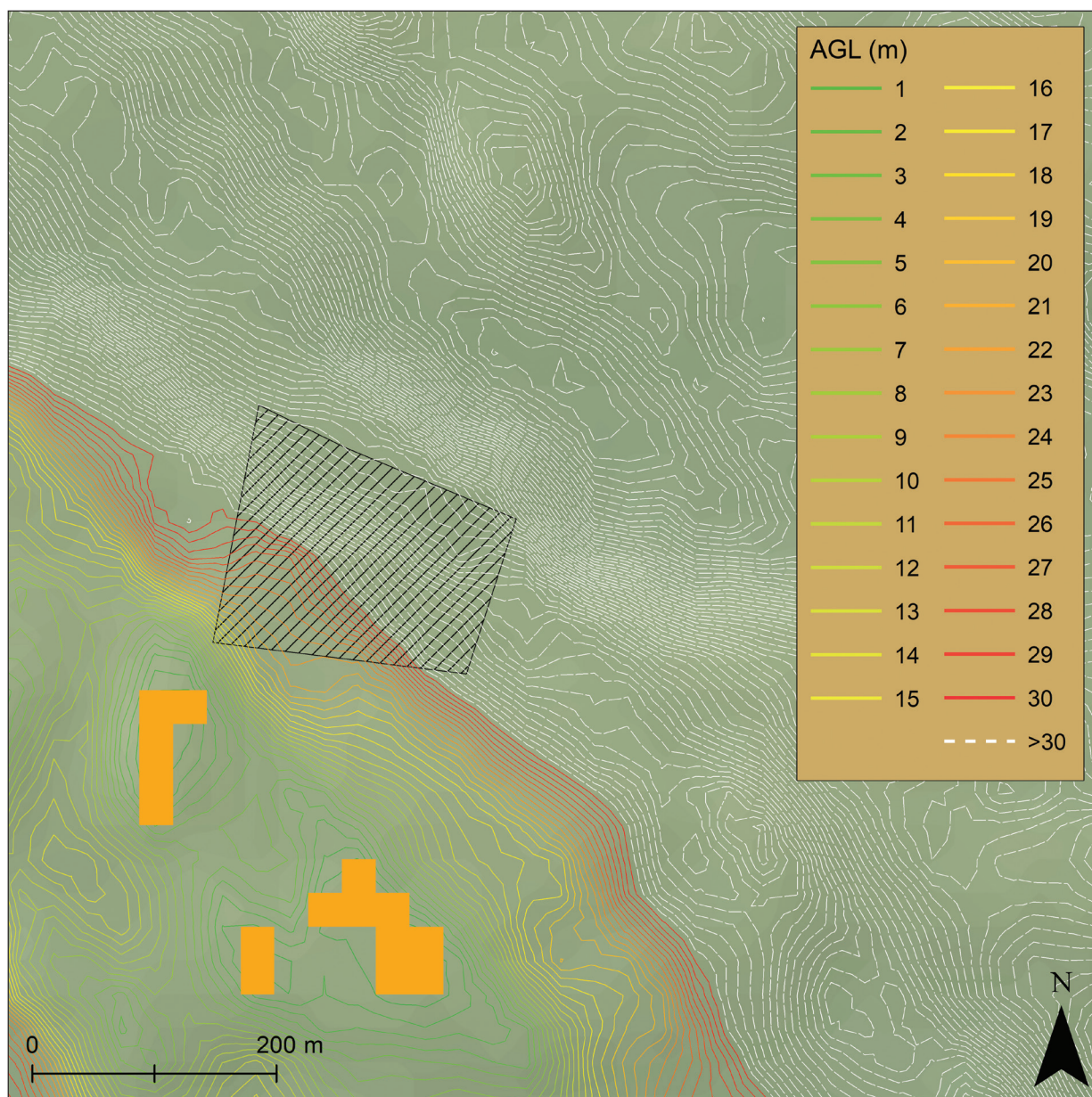


**Obr. 10.** AGL (above ground level) analýza z pomyslného středu tábora v Jevíčku při výšce pozorovatele 20 m identifikující hypotetický pozorovací bod v blízkosti vrcholového bodu hradiška (autor M. Hlavica, červené body – nálezy detektorové prospekce).

**Fig. 10.** AGL (above ground level) analysis of the notional centre of the camp in Jevíčko with a height of observation of 20 m identifying the hypothetical observation point near the top point of the hillfort (author M. Hlavica, red dots – finds using detector prospection).

identifikace nejideálnějšího pozorovacího bodu na mařínském hradišti. K dosažení tohoto cíle posloužila analýza viditelnosti (*visibility*) v kombinaci s analýzou AGL (*above ground level*). Pozorovacím bodem směrem k hradišti byl pomyslný střed tábora lokalizovaný na dnešní křižovatce ulic K. Čapka a Vrchlického, resp. ulice Nerudovy (Komoróczy *et al.* 2020, 224, Fig. 52). Možnosti výhledu pozorovatele byly postupně definovány výš-

kami pozorovatele 1,5 m, 5 m, 10 m, 15 m a 20 m nad úrovní terénu. Vypočítané modely viditelnosti prokázaly, že přímý výhled na hradiško z definovaného bodu uvnitř tábora není možný ani při jedné výškové hladině. Analýza AGL (obr. 10) však ukázala, že jistým potenciálem pro další analýzu disponuje malá vyvýšenina zhruba 75 m jihozápadně od koncentrace nálezů č. 2 a 3. Pokud by pozorovatel v pomyslném středu tábora

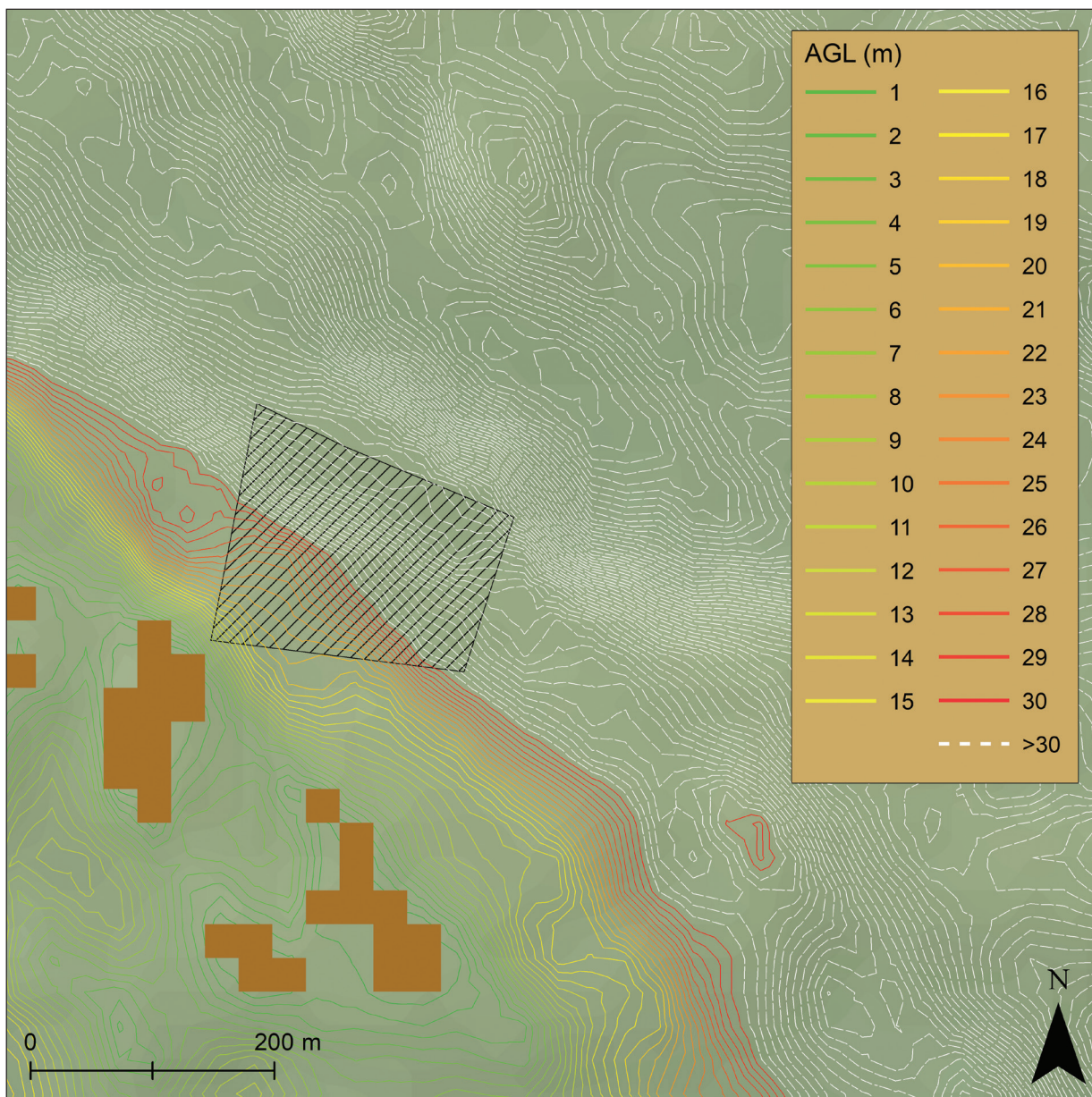


**Obr. 11.** Analýza viditelnosti z definovaného pozorovacího bodu u mařínského hradiska v kombinaci s analýzou AGL identifikující viditelné části (oranžově) okolí tábora a hypoteticky viditelné části tábora v Jevíčku (vrstevnice) při výšce pozorovatele 10 m (autor M. Hlavica, šrafovaně – předpokládaný rozsah římského krátkodobého tábora v Jevíčku).

**Fig. 11.** Analysis of visibility from the defined observation point by the Mařín hillfort combined with AGL analysis identifying the visible parts (in orange) of the surroundings of the camp, and the hypothetically visible parts of the camp in Jevíčko (contour lines) at an observer's height of 10 m (author M. Hlavica, crosshatched – presumed extent of the short-term Roman camp in Jevíčko).

stál na konstrukci umožňující mu pozorovat okolí z výšky 20 m, byl by schopen zachytit jiného pozorovatele na zmíněné vyvýšenině, pokud by tento stál na konstrukci umožňujícímu pozorovat okolí z výšky 25 m. Všechny ostatní části hradiska vyžadují výšku pozorovatele nad 30 m. Zmíněná vyvýšenina tak do další analýzy vstoupila jako hypotetické pozorovací místo na mařínském hradis-

ku. Z tohoto bodu pak byly zkoumány možnosti dohledu na oblast tábora v Jevíčku, resp. jeho blízké okolí. Z definovaného pozorovacího místa na hradisku byla následně provedena analýza viditelnosti pro identické výšky pozorovatele jako v případě jevíčského tábora. Výsledné modely ukazují, že již při výšce pozorovatele 10 m je z pozorovacího bodu viditelná oblast zhruba 170 m jihozá-



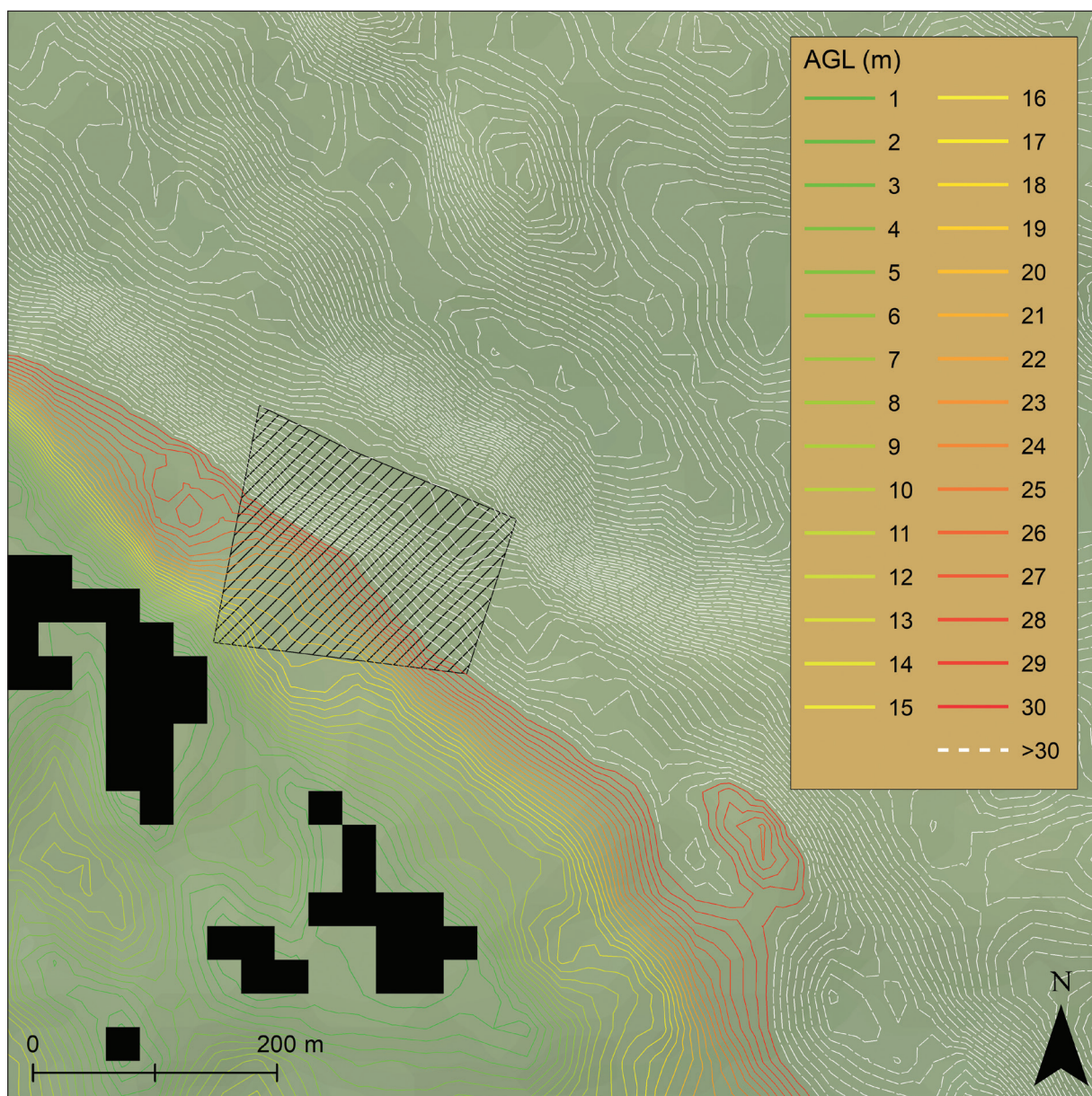
**Obr. 12.** Analýza viditelnosti z definovaného pozorovacího bodu u mařínského hradiska v kombinaci s analýzou AGL identifikující viditelné části (hnědě) okolí tábora a hypoteticky viditelné části tábora v Jevíčku (vrstevnice) při výšce pozorovatele 15 m (autor M. Hlavica, šrafovaně – předpokládaný rozsah římského krátkodobého tábora v Jevíčku).

**Fig. 12.** Analysis of visibility from a defined observation point by the Mařín hillfort combined with AGL analysis identifying the visible parts (in brown) of the surroundings of the camp, and the hypothetically visible parts of the camp in Jevíčko (contour lines) at an observer's height of 15 m (author M. Hlavica, crosshatched – presumed extent of the short-term Roman camp in Jevíčko).

padně a 250 m jižně od pomyslného středu tábora (obr. 11). Při výšce 15 m (obr. 12), resp. 20 m (obr. 13) se oblasti viditelnosti znatelně zvětšují. Při výšce pozorovatele 20 m je nejbližší přímo viditelná oblast již zhruba 100 m jihozápadně od pomyslného středu tábora. Analýza AGL pak ukazuje, že jihozápadní oblast od definovaného bodu uvnitř tábora mohla být viditelná už při

nižších výškách zdejších pozorovacích stanovišť (nutná pozorovací výška 25 m se postupně snižuje směrem k viditelné oblasti), nicméně velká část na sever a severovýchod od definovaného středu by vyžadovala výšku zdejší pozorovací konstrukce větší než 30 m.

Analýza viditelnosti tak prokazuje, že z definovaného pozorovacího bodu na mařínském



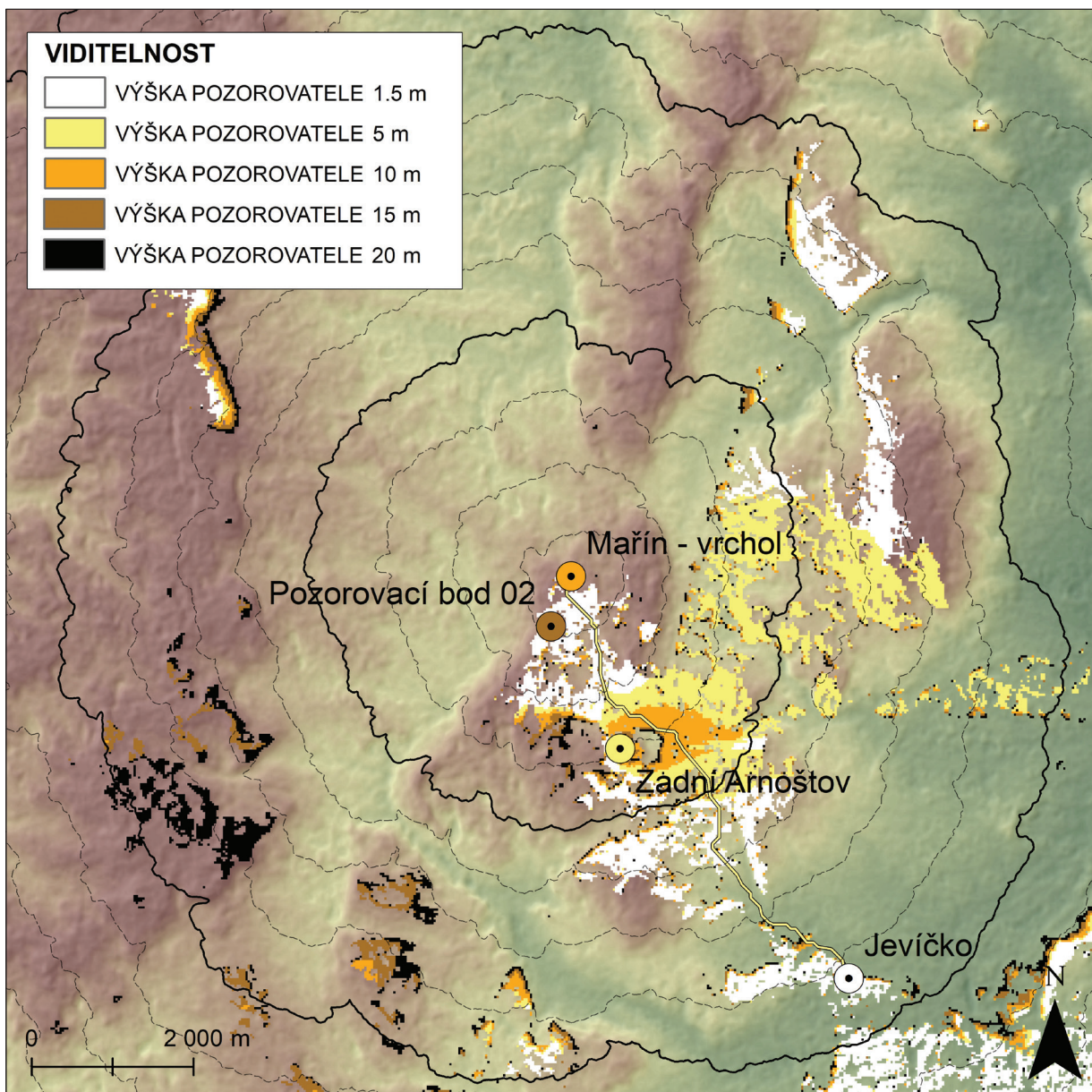
**Obr. 13.** Analýza viditelnosti z definovaného pozorovacího bodu u mařínského hradiska v kombinaci s analýzou AGL identifikující viditelné části (černě) okolí tábora a hypoteticky viditelné části tábora v Jevíčku (vrstevnice) při výšce pozorovatele 20 m (autor M. Hlavica, šrafovane – předpokládaný rozsah římského krátkodobého tábora v Jevíčku).

**Fig. 13.** Analysis of visibility from a defined observation point by the Mařín hillfort combined with AGL analysis identifying the visible parts (in black) of the surroundings of the camp, and the hypothetically visible parts of the camp in Jevíčko (contour lines) at an observer's height of 20 m (author M. Hlavica, crosshatched – presumed extent of the short-term Roman camp in Jevíčko).

hradisku mohla být za ideálních podmínek a s odpovídající výškou pozorovatelů v obou pozorovacích bodech viditelná jihozápadní část tábora. Je však nutno zdůraznit, že model pracuje s ideálními pozorovacími podmínkami. Dohled mohly ovlivnit další proměnné, které do analýzy zahrnuté nebyly, především charakter dobové vegetace. Nicméně i přes své

nedostatky analýza ukazuje, že ani za ideálních podmínek nebyla vzájemná konfigurace obou lokalit (t.j. mařínského hradiska a římského krátkodobého tábora) pro vzájemnou viditelnost zcela ideální. Byl-li výhled z hradiska na tábor možný, viditelná byla pravděpodobně jen jeho část, a to jen při vyšších výškách pozorovatelů na obou stranách.





**Obr. 14.** Viditelná oblast z vrcholového pozorovacího bodu 02 (531 m n. m.) na výšinné poloze v Hrubém lese při různých výškách pozorovatele (autor M. Hlavica).

**Fig. 14.** Visible area from the top observation point 02 (531 m alt.) on the elevated position in Hrubý les at different observer's heights (author M. Hlavica).

Z tohoto důvodu byla prozkoumána viditelnost z další výšinné polohy (531 m n. m.) v Hrubém lese, tj. nejvyššího bodu zhruba 500 m severně od výrazné další koncentrace detektorových nálezů (obr. 1). Podle analýzy prostupnosti terénem se tato lokalita nachází zhruba hodinu cesty od tábora v Jevičku, resp. 45 minut z vrcholu mařínského hradiska. Analýza viditelnosti z tohoto místa už při výšce pozorovatele 1,5 m

ukazuje na velmi dobrou viditelnost na krátkodobý tábor a jeho okolí, stejně jako na celý jižní a jihovýchodní svah mařínského hradiska, a to od jeho úpatí až po jeho vrcholový bod (obr. 14). V případě, že by tedy byla přímá vizuální komunikace byla mezi hradiskem a krátkodobým táborem z různých příčin znemožněna, výšinný bod v Hrubém lese se ukazuje jako adekvátní komunikační mezičlánek.

## 5. ANALÝZY PRVKOVÉHO SLOŽENÍ KOVOVÝCH ARTEFAKTŮ

Z celého souboru bylo analyzováno celkem dvanáct kovových artefaktů z mařínského hradiště a devět artefaktů z lokality Zadní Arnoštov „Na Žlábkách“. Analýzy byly provedeny na odebraných mikrovzorcích kovového materiálu metodou SEM/EDS.<sup>10</sup> Výsledky analýz prvkového složení jednotlivých předmětů jsou uvedeny v tabele 1. Při vyhodnocování prvkového složení byla věnována pozornost zejména koncentracím

cínu, olova a zinku (obr. 15, 16). V předmětech byly dále identifikovány příměsi železa, niklu a kobaltu v koncentracích nižších než 0,5 %. Předměty ze slitin mědi je možné na základě porovnání koncentrací cínu, zinku a olova rozdělit do celkem čtyř materiálových skupin (tabela 2). Při srovnání skupin artefaktů z mařínského hradiště a Zadního Arnoštova „Na Žlábkách“ nebyly shledány žádné výraznější korelace v jejich prvkovém složení.

Nejpočetněji zastoupenou slitinou v analyzovaném souboru je slitina olovnato-cínového

Číslo	Lokalita	Předmět	Slitina	Cu	Zn	Sn	Pb	Fe	Ni	Co
13	Mařín	bronzový vývalkovitě členěný artefakt	7	95,55	<0,05	4,28	<0,05	0,18	<0,05	<0,05
11	Mařín	část bronzového kruhu	3	85,56	1,72	4,73	7,87	0,12	<0,05	<0,05
1	Mařín	lučik bronzové spony typu A 84	5	69,75	<0,05	8,55	20,94	0,44	0,15	<0,05
2	Mařín	bronzový nýt z římské přílby typu Niederbieber	3	70,03	1,29	3,13	25,37	0,15	<0,05	<0,05
3	Mařín	ploché bronzové kování	7	88,68	<0,05	11,14	<0,05	0,18	<0,05	<0,05
4	Mařín	bronzové trubkovité opaskové kování	3	25,46	1,13	2,92	70,37	0,11	<0,05	<0,05
14	Mařín	kulovitá hlavice hřebu/nýtu	3	75,93	1,71	7,23	14,91	0,22	<0,05	<0,05
15	Mařín	hranolek kovu z mědi nebo její slitiny	7	96,56	<0,05	2,94	<0,05	0,38	<0,05	0,12
16	Mařín	destička ze slitiny mědi s protilehlými otvory	7	96,94	<0,05	2,74	<0,05	0,32	<0,05	<0,05
17	Mařín	hranolek kovu s trnem z mědi nebo její slitiny	3	84,92	2,12	6,25	6,64	0,08	<0,05	<0,05
18	Mařín	bronzové kování - puklička	2	76,77	16,43	2,28	4,04	0,48	<0,05	<0,05
19	Mařín	bronzová prohnutá tyčinka nebo část kroužku	3	69,02	2,24	5,55	22,95	0,24	<0,05	<0,05
20	Zadní Arnoštov	bronzové peltoidní nákončí pochvy meče	3	82,47	1,92	7,55	7,75	0,19	0,13	<0,05
21	Zadní Arnoštov	bronzová kolinkovitá spona s polokruhovitou záhlavní destičkou typu Jobst 13D	3	65,85	1,52	12,97	19,44	0,22	<0,05	<0,05
22	Zadní Arnoštov	bronzová spona s hraněným dvojkónickým knoflíkem na lučiku	7	95,21	<0,05	4,61	<0,05	0,18	<0,05	<0,05
23	Zadní Arnoštov	bronzová kolinkovitá spona s polokruhovitou záhlavní destičkou typu Jobst 13E	5	67,43	<0,05	8,17	24,36	0,05	<0,05	<0,05
24	Zadní Arnoštov	část lučiku bronzové kolinkovité spony typu Jobst 13C	3	77,45	5,49	7,04	9,41	0,33	0,28	<0,05
25	Zadní Arnoštov	nožka bronzové kolinkovité spony s polokruhovitou záhlavní destičkou	3	65,18	4,92	6,98	22,63	0,29	<0,05	<0,05
26	Zadní Arnoštov	bronzová přezka s peltoidním rámečkem blízka typu Oldenstein 1004/1014	3	79,82	3,66	4,69	11,42	0,22	0,19	<0,05
27	Zadní Arnoštov	fragmenty stěn a okraje s atáší trojúhelníkovitého tvaru westlandského kotle	7	87,40	0,60	10,97	0,67	0,13	0,21	<0,05
			3	84,57	1,24	10,53	3,56	0,10	<0,05	<0,05
			5	86,50	<0,05	11,14	2,25	0,11	<0,05	<0,05
28	Zadní Arnoštov	část lučiku a hlavice bronzové výrazně členěné spony typu A 69	7	93,30	<0,05	6,46	<0,05	0,24	<0,05	<0,05

**Tabela 1.** Výsledky SEM/EDS analýz prvkového složení artefaktů, hmotnostní % (autor J. Kmošek).

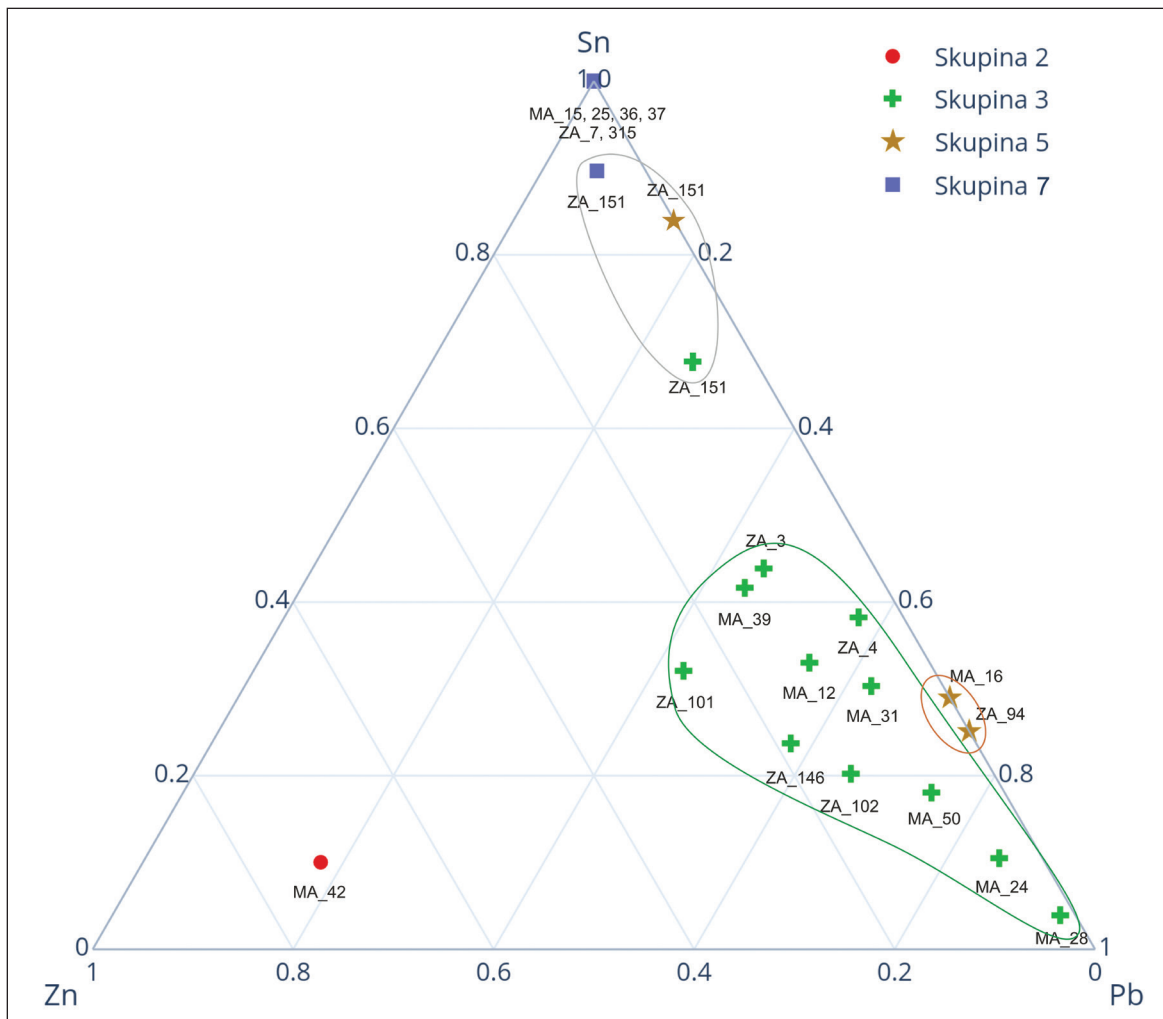
**Table 1.** The results of SEM/EDS analyses of the elemental composition of the artefacts, weight % (author J. Kmošek).

Skupina	Prvkové složení									Počet předmětů	Slitina
	Sn			Zn			Pb				
	Průměr	Min	Max	Průměr	Min	Max	Průměr	Min	Max		
2	2,28			16,43			4,04			1	olovnato cínová mosaz s vysokým obsahem zinku
3	6,63	2,92	70,37	2,41	1,13	5,49	18,53	3,56	70,37	12	olovnato cínový bronz s malým podílem zinku
5	9,28			0,05			15,85			3	olovnato cínový bronz
7	6,16	2,74	11,14	0,09	0,05	0,60	0,10	0,05	0,67	7	cínový bronz

**Tabela 2.** Srovnání koncentrací cínu, zinku a olova u artefaktů v materiálových skupinách 2, 3, 5 a 7 (autor J. Kmošek).

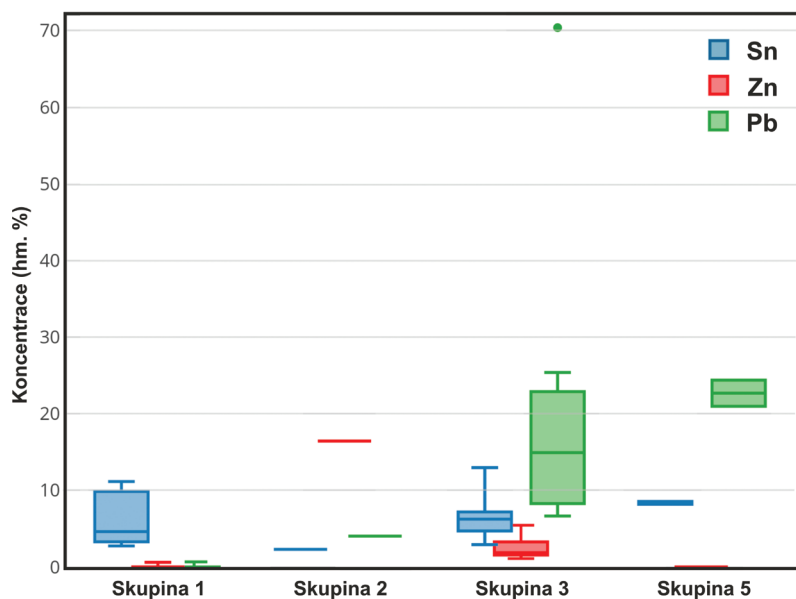
**Table 2.** Comparison of the concentration of tin, zinc and lead in artefacts in material groups 2, 3, 5 and 7 (author J. Kmošek).

<sup>10</sup> Mikrovzorky kovového materiálu byly z analyzovaných předmětů odebrány odvrtáním HSS spirálovým vrtákem s povrchovou úpravou TiN a průměrem vrtáku 1 mm. Analýzy prvkového složení byly provedeny na elektronovém skenovacím mikroskopu Tescan Mira3 LMU s EDS analyzátozem Bruker Quantax 200 a data byla vyhodnocena v softwaru Bruker Esprit. Měření vzorků bylo prováděno v režimu vysokého vakua, urychlovacím napětím 20 kV, s detekcí zpětně odražených elektronů a dobou akumulací dat 300 s. Výsledek analýzy je průměrem ze třech nezávislých měření. Analýzy provedl Ing. J. Kmošek na Katedře chemické technologie, Fakultě restaurování Univerzity Pardubice.



**Obr. 15.** Ternární diagram s vyneseními koncentracemi cínu, olova a zinku jednotlivých analyzovaných artefaktů a zvýrazněním materiálových skupin 3 a 5 a jednotlivých částí předmětu 151 (autor J. Kmošek).

**Fig. 15.** Ternary diagram with the concentrations of tin, lead and zinc of each analysed artefact and highlighting of the material groups 3 and 5 and each part of the item 151 (author J. Kmošek).



**Obr. 16.** Boxplot znázorňující koncentrace cínu, zinku a olova u artefaktů zařazených do materiálových skupin 2, 3, 5 a 7 (autor J. Kmošek).

**Fig. 16.** Boxplot illustrating the concentration of tin, zinc and lead in artefacts included in the material groups 2, 3, 5 and 7 (author J. Kmošek).

bronzu s malým podílem zinku (skupina 3), která byla zjištěna u celkem jedenácti artefaktů. Průměrné složení předmětů v této skupině je 6,6 % cínu, 2,4 % zinku a 18,5 % olova. V této skupině jsou obsaženy zejména předměty římské provenience, datované do období B2/C1 a čtyři další obtížně datovatelné předměty, u nichž se proto datace do doby římské jeví jako možná. Velmi podobné složení mají i analyzované předměty římské provenience a výrobní polotovary z Boršova u Moravské Třebové ze skupiny 3 (Vích *et al.* 2020).

Druhou nejzastoupenější skupinou artefaktů je slitina cínového bronzu (skupina 7), která byla určena u celkem šesti předmětů. Koncentrace cínu se u těchto předmětů pohybují v intervalu 2,7–11,1 % a příměsi dalších prvků jsou pod hranicí 0,7 %. Předměty přiřazené do této skupiny pokrývají velmi široký časový interval. Z hlediska provenience je ve skupině zahrnuta bronzová spona s hraněným dvojkónickým knoflíkem na lučíku barbarské provenience (Zadní Arnoštov „Na Žlíbcích“ č. 22, ev. č. 7) a část bronzové výrazně členěné spony typu A 69 římské provenience (Zadní Arnoštov „Na Žlíbcích“ č. 315).

Slitina olovnato-cínového bronzu (skupina 5) byla určena u dvou předmětů římské provenience – lučíku bronzové spony typu A 84 (mařínské hradiště č. 1, ev. č. 16) a spony typu Jobst 13E (Zadní Arnoštov „Na Žlíbcích“ č. 23, ev. č. 94). Obsah cínu je u těchto dvou předmětů v hodnotách 8,2 a 8,6 % a olova 20,9 a 24,4 % a prakticky neobsahují zinek. Velmi podobné složení mají opět i analyzované předměty laténské a římské provenience z Boršova u Moravské Třebové ze skupiny 5 (Vích *et al.* 2020).

Obtížně datovatelné bronzové kování – puklička (mařínské hradiště, č. 18, ev. č. 42) je vyrobeno ze slitiny olovnato-cínové mosazi s vysokým obsahem zinku. Slitina obsahuje 2,3 % cínu, 16,4 % zinku a 4,0 % olova. Podobné prvkové složení mají i analyzované předměty z Boršova u Moravské Třebové ze skupiny č. 2 (Vích *et al.* 2020). Tyto mosazné předměty se svým složením podobají antické mosazi-aurichalcu (Droberjar/Frána 2004, 442) a zahrnují různorodou skupinu předmětů římské provenience, slitky a další zejména drobné zlomky určených předmětů.

Velmi specifické složení vykazují tři analyzované zlomky westlandského kotle (Zadní Arnoštov „Na Žlíbcích“ č. 27, ev. č. 151). Fragmenty stěn a okraje s atáší trojúhelníkovitého tvaru mají velmi heterogenní složení a pohybují se na hranici skupin 3, 5 a 7 (obr. 15). Společné pro všechny analyzované fragmenty je vysoký obsah cínu, který se pohybuje mezi 10,5 a 11,1 %. Obsahy olova kolísají mezi 0,7–3,6 % a zinek dosahuje koncentrací do 1,2 %. Jedná se tedy o slitinu olovnato-cínového bronzu s kolísavým obsahem zinku. Koncentrace cínu, olova a zinku analyzovaných fragmentů kotle ze Zadního Arnoštova byly srovnány s publikovanými daty jiných kotlů ze Skandinávie, Francie a Německa (Bollingberg/Lund Hansen 2016). Podobné prvkové složení mají některé analyzované kotle z území Skandinávie a Německa z období stěhování národů (Bollingberg/Lund Hansen 2016, Fig. 20 a 25a). Pro důkladnější zasazení kotle ze Zadního Arnoštova do kontextu jiných analyzovaných kotlů z různých geografických prostředí by bylo nutné analyzovat koncentrace příměsových a stopových prvků ve vzorcích.

## 6. DISKUSE A INTERPRETACE

Soubory nálezů z areálu mařínského hradiště a Zadního Arnoštova „Na Žlíbcích“ na první pohled představují kolekci, jejíž vysvětlení a zasazení do kontextu germánského osídlení nepředstavuje s ohledem na přítomnost římského krátkodobého tábora (zvýšený počet militarií) výraznější problém. Toto tvrzení by však platilo pouze za předpokladu, že bychom hovořili o standardních barbarských sídlištních lokalitách, které známe z doby římské z prostoru střední Evropy. To však u těchto nalezišť z důvodů diskutovaných níže neplatí. Proto je nutné vzít v potaz jednotlivá kritéria, jimiž se oba soubory od sídlištních lokalit odlišují.

### 6.1 Chronologie a provenience

Soubor z mařínského hradiště (tabela 3) složený z římsko-provinciálních artefaktů, a to spínadla typu A 84, opaskového trubkovitého kování, nýtu přilby typu Niederbieber a dalších interva-

lově datovaných předmětů umožňuje především díky prvním třem jmenovaným kusům poměrně přesné časové zařazení do období druhé poloviny 2. století až do prvních desetiletí 3. věku, tedy do fází B2b až C1a. Kolekce ze Zadního Arnoštova „Na Žlábkách“ (tabela 4) je již chronologicky méně homogenní. Římsko-provinciální spona typu A 69 spadá do fází B1c až počátku fáze B2a, římsko-provinciální kolínkovité spony typu Jobst 13C, D do úseku od fáze B2b do počátku fáze C1a. Sekvenci střední doby římské (B2b–C1a) dobře odpovídají obě peltoidní nákončí typu Miks 36 a přezka s pel-

toidním rámečkem typu Oldenstein 1004/1014. Mladší je nejspíše spona typu Jobst 13E, která se hlásí až do období po markomanských válkách. Do skupiny chronologicky pozdních kusů náleží spona s knoflíkem na lučíku (C2/C3 až D1) a zlomky westlanského kotle typu Hauken 2 (C1b–E). Z uvedeného přehledu vyplývá, že zřetelně převažují artefakty římsko-provinciálního původu datované do střední doby římské (fáze B2b: 150/160–170/180 až C1a: 200/210–240/250, Jílek 2013). Druhou výraznější skupinu předmětů lze časově fixovat do mladší doby římské až stěhování národů.

ID	Artefakty souboru	Provenience	Datace
1	spona typu A84	konvenčně římsko-provinciální	B2b–B2/C1
4	trubkovité kování Oldenstein 897	římsko-provinciální	B2b–C1a
2	nýt přilby typu Niederbieber	římsko-provinciální	B2/C1–C1
3	ploché kování	?	mladší pravěk–novověk
11	část kruhu	?	mladší pravěk–novověk
12	kroužek	?	mladší pravěk–novověk
13	vývalkovitě členěný artefakt	?	protohistorie ?
14	kulovitá hlavice hřebu/nýtu	?	mladší pravěk–středověk
15	hranolovitý ingot z neželezného kovu	?	mladší pravěk–protohistorie
17	hranolek z neželezného kovu s trnem	?	mladší pravěk–protohistorie
18	kování-puklička	?	protohistorie–středověk
19	prohnutá tyčinka nebo část kroužku	?	mladší pravěk–novověk

**Tabela 3.** Mařínské hradiště, k. ú. Zadní Arnoštov a Křenov, okr. Svitavy. Přehled artefaktů, jejich datace a provenience (autor J. Jílek).

**Table 3.** Mařín hillfort, cadastral district of Zadní Arnoštov and Křenov, Svitavy district. Overview of artefacts, their dating and provenance (author J. Jílek).

ID	Artefakty souboru	Provenience	Datace
28	spona typu A69	římsko-provinciální	B1c–B2a
25	kolínkovitá spona	římsko-provinciální	B2b–C1a
24	kolínkovitá spona typu Jobst 13C	římsko-provinciální	B2b–C1a
21	kolínkovitá spona typu Jobst 13D	římsko-provinciální	B2b–C1a
23	kolínkovitá spona typu Jobst 13E	římsko-provinciální	C1–C2?
22	spona s hraněným dvoukónickým knoflíkem	barbarská	C2/C3–D1
20	peltoidní kování pochvy meče typu Miks 36	římsko-provinciální	B2a/B2b–C1
26	peltoidní přezka typu Oldenstein 1004/1014	římsko-provinciální	B2b–C1a
27	westlanský kotel typu Hauken 2	římsko-provinciální	B2/C1? C1b–E
29	peltoidní kování pochvy meče typu Miks 36	římsko-provinciální	B2a/B2b–C1

**Tabela 4.** Zadní Arnoštov a Bělá u Jevíčka, okr. Svitavy, „Na Žlábkách“. Přehled artefaktů, jejich datace a provenience (autor J. Jílek).

**Table 4.** Zadní Arnoštov and Bělá u Jevíčka, Svitavy district, „Na Žlábkách“. Overview of artefacts, their dating and provenance (author J. Jílek).

## 6.2 Výpověď numismatických pramenů

Zasazení obou mincovních kolekcí do širšího kontextu nálezového výskytu římských mincí v barbariku je v tomto případě poměrně složité a neobejde se bez paralelního svědectví dalších archeologických nálezů. Obecně lze konstatovat, že v rámci tzv. starého nálezového fondu nálezů římských mincí se region okrese Svitavy, resp. širšího okolí Jevíčka, jevil pouze jako okrajový (Militký 2013, 204–208). Teprve nové průzkumy s detektory kovů prokázaly, že zvláště v Jevíčku a jeho okolí se v rámci nově dokumentovaných lokalit vyskytují pravidelně také římské mince – část tohoto materiálu již byla zveřejněna (Militký/Vích 2011, 289–290, č. 14–17), část na zveřejnění teprve čeká. V drtivé většině případů však nové nálezy římských mincí pocházejí z areálů germánských sídlišť koncentrovaných na zemědělsky příhodných polohách Malé Hané. Až do roku 2016 se pohled na region jevil pouze optikou domácího germánského osídlení, nicméně přelomem ve vnímání celého oblasti se stal objev římského krátkodobého tábora, dokládajícího přímou římskou vojenskou přítomnost na území dnešního města. Od tohoto okamžiku je nálezový fond datovatelný do doby před rokem 180 nutno vnímat paralelně také optikou možné souvislosti s uvedenou římskou vojenskou přítomností, která spadá zřejmě na konec 70. let 2. století. A tento úhel pohledu se týká také obou sledovaných kolekcí mincí.

Mince z polohy „Na Žlíbcích“ jsou tak malým souborem, že je prakticky nemožné je nějak přesněji zhodnotit – v tomto případě přináší průkaznější svědectví archeologie. Více lze říci ke kolekci z mařínského hradiště. Nápadným jevem je, že žádná z ražeb nepřekračuje rok 180, pomineme-li neurčitelný provinciální (?) bronzový nominál.<sup>11</sup> Neobvyklé je také výrazné zastoupení bronzových mincí v poměru k denárům 3:3. Na germánských sídlišťích je obvykle zřetelná dominance stříbrných denárů, a to i v oblasti česko-moravského pomezí (Militký/Vích 2011, 284, 285, obr. 2a–b). Objektivně je však nutné konstatovat, že kolekce z mařínského hradiště je stále

malá, a tedy málo průkazná. V úvahu je třeba vzít také dlouhodobý oběh starších mincí v barbariku, který může relativizovat hranici roku 180. Zároveň zatím nemáme k dispozici žádné obdobné soubory mincí s jistotou spojitelné s římským vojenským zásahem – výjimku samozřejmě představuje jen předběžně publikovaná kolekce z Mušova (např. *Komoróczy 2008*, 417–422).

Shrňme-li tedy dosavadní poznatky, můžeme konstatovat, že mince z areálu mařínského hradiště skutečně mohou indikovat aktivity římské armády, hypoteticky spojitelné s možnou kontrolou komunikačního spojení směrem k českému území. Byly by tak společně s dalšími archeologickými nálezy dokladem, že plocha pozdějšího hradiště byla využívána jako strážní a komunikační bod při cestě směřující do českého vnitrozemí. Tato interpretace je jistě lákavá, nikoliv však jediná. Nelze totiž vyloučit, že mincovní a další archeologické nálezy dokládají aktivity germánské obyvateľstva a že jde o opakovaně deponovaná vota při trase komunikace, o jakési obětiny za „šťastný“ průchod krajinou (Fröhlich/John/Militký 2013, 124). S nálezy tohoto charakteru se setkáváme stále častěji a dobře zřetelné jsou zvláště na horských přechodech či na jinak neosídlených územích – např. Strážný (Militký 2013, 263, 264, č. 724), Český Heršlák (Fröhlich/John/Militký 2013), Folmava (Militký 2013, 252, č. 653; Řezáč/John/Zavřel 2019), Šafléřov (Militký/John/Račák 2021) či z Krušných Hor v trase tzv. Chlumecké stezky, odkud pocházejí dva doposud nepublikované hromadné nálezy a několik jednotlivých římských mincí (Militký 2010). Tyto nálezy představují specifickou, nicméně stále častěji se vyskytující nálezovou kategorii a je evidentní, že s tímto druhem nálezů je nutné počítat i ve vnitrozemí. Jejich společným výrazným rysem je vazba na trasy historických komunikací, kterou mají také nálezy ze Zadního Arnoštova. Lze tedy konstatovat, že za stávajícího stavu poznání jsou obě výše nastíněné interpretace možné. Pokud se tedy kolekce mincí nezmnoží (zvláště z areálu mařínského hradiště) o další exempláře, nelze spolehlivě rozhodnout, ke které z nastíněných možností se je možné více přiklonit.

<sup>11</sup> Je škoda, že tuto mince nejde přesněji určit – s provinciálními ražbami se totiž v barbariku setkáváme jen vzácně (Militký 2013, 59–63).

### 6.3 Lokalizace, širší prostorové vztahy a otázka aktivit

V případě obou skupin předmětů překvapí jejich umístění v polohách, které nemůžeme označit za nížinné. Artefakty získané v prostoru mařínského hradiště byly situovány v nadmořské výšce kolem 570 m, kolekce z polohy na „Na Žlábkách“ pak pochází z prostoru s nadmořskou výškou kolem 530 m, v obou případech navíc na nepříliš úrodných půdách a v nepříznivých klimatických polohách. Obě lokality lze tedy i s ohledem na reliéf krajiny označit ve srovnání s lokalizací krátkodobého tábora a barbarského osídlení v okolí za exponované. I když teoretickou přítomnost barbarských sídlišť v obou polohách není možné z důvodu zalesnění, popř. dlouhodobého zatravnění ověřit dalšími metodami (zejména povrchovým sběrem), přírodní faktory takovouto možnost prakticky vylučují. Proti interpretaci lokalit jako sídlištních situací hovoří pro časnou a starší dobu římskou na území České republiky podle aktuálního stavu bádání také absence sídlišť v exponovaných polohách (srv. *Salač 2008*, 52, 54). Archeologické situace a nálezy z časné až střední doby římské z areálu oppida na Závisti (*Motýková/Drda/Rybová 1978*, 172–174, obr. 48–50) je obtížné interpretovat a mohou souviset spíše s krátkodobými aktivitami blíže nespecifikovaného charakteru (lov, rozebírání materiálu atd., *Waldhauser 1983*, 337) než s trvalým sídlením. Rovněž doklady z mladší doby římské jsou velmi vzácné. Doposud je znám pouze ojedinělý příklad barbarského sídliště z jinak ovšem specifického Mušova, které se rozkládalo na temeni mušovského Burgstallu (*Tejral 2011a*, 40, 41, Abb. 4). Situace se mění až na konci pozdní doby římské a v 5. století. Z této doby pochází podstatně více dokladů ze středních a jižních Čech, středního a horního Podunají (*Jiřík 2012*, 366–369, 375, 386, Abb. 3–5; souhrnně *Tejral 2011b*, 385–391).

Tato skutečnost vyvolává otázku související s určením aktivit na obou lokalitách, což je přirozeně limitováno i způsobem získání artefaktů, neboť ani na jednom z nalezišť neproběhl plošný terénní odkryv umožňující identifikaci případných intaktních archeologických situací. Přesto však již nyní můžeme vedle úvah o sídlištním

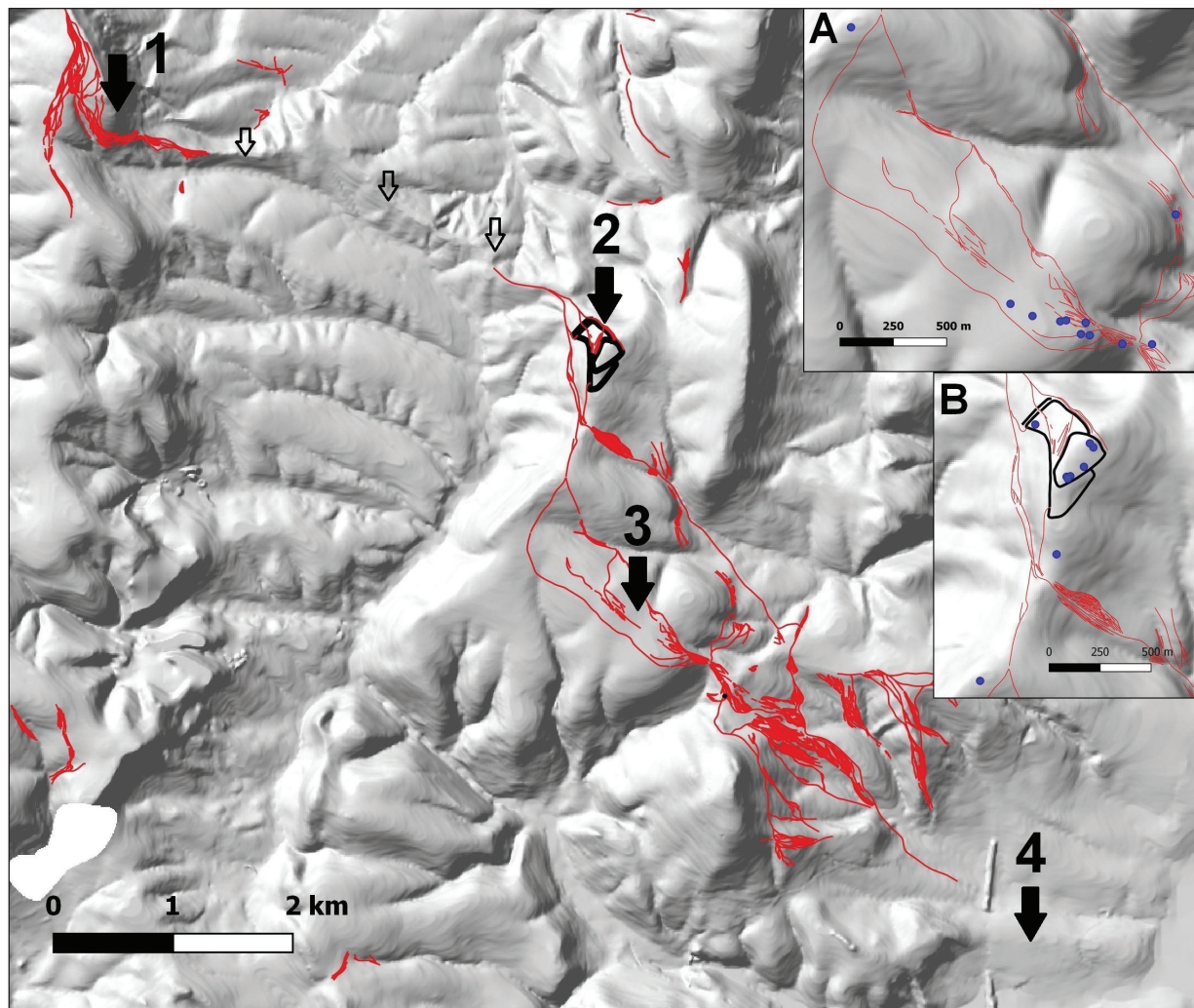
prostředí vyloučit také úvahy o prostředí funerálním (značný prostorový rozptyl artefaktů, které ani v jediném případě nenesou stopy ohně, absence spálených kostí a jakýchkoliv artefaktů typických zejména pro hroby, ač jejich přítomnosti byla věnována zvýšená pozornost).

Odpověď na otázku, jak situaci interpretovat, není proto jednoduchá a přirozeně si nevystačíme pouze s jednou možností, neboť k nastínění významu obou nalezišť je nutné přistupovat z různých úhlů pohledu, které mohou generovat jednotlivé interpretační „scénáře“.

Jako nikoliv nepodstatnou skutečností se jeví přítomnost zaniklých komunikací v podobě úvozů, s nimiž se v daném prostoru setkáváme (obr. 17 červeně). Detektorový průzkum zejména v poloze Zadní Arnoštov „Na Žlábkách“ přinesl celou řadu artefaktů od doby bronzové po vrcholný středověk dokládající komunikační význam tohoto prostoru zejména ve středověku, ale i v obdobích předcházejících. Ten nejlépe ilustruje několik stovek podkov a jejich zlomků dokládajících intenzivní pohyb zde v raném a vrcholném středověku. To, že danou trasu sledují i artefakty doby římské tedy jistě nebude náhoda (k problému viz podrobně a kriticky *Vích et al. 2020*). Na tomto místě je rovněž vhodné zmínit výskyt kovových předmětů datovaných od doby bronzové do doby římské např. v alpských regionech (se zájmovým územím ovšem zároveň těžko srovnatelných) v místech průsmyků kudy mohly procházet důležité komunikace (*Bradley 2017*, 176). M. Windholz-Konrad (*2018*, 103, 203) registrovala intenzivní zastoupení depotů z doby bronzové v blízkosti důležitých cest na území Štýrska. Z tohoto hlediska není nezajímavá koncentrace zlomků zbraní z doby římské v průsmyku mezi obcemi Nassereith a Biberwier a jeho nejbližšího okolí, kudy procházela důležitá římská silnice Via Claudia Augusta (tento úsek cesty procházel provincií Raetia). Nálezy jsou zejména pro svůj fragmentární stav dochování interpretovány jako možná vóta (*Grabherr 2012*, 225, 226, 228). Výše zmíněné příklady pak mohou odpovídat tzv. cestovním obětinám (viz např. *Bradley 2017*, 176; *Půlpánová-Reszczyńska/Půlpán/Ondráčková 2018*, 584, tam i další literatura). Podobná situace byla publikována i pro zájmové území, kde se podařilo

objevit depozitum z doby římské v podobě meče a radlice západně od mařínského hradiska (Vích *et al.* 2018) v k. ú. Křenov směrem na Pohledy rovněž s vazbou na zaniklé komunikace. Pokud dosavadní poznatky o době římské v úseku mezi lokalitou Křenov – na Pohledy a Jevíčkem s krátkodobým táborem zkombinujeme s terénním reliéfem a dochovanými úvozy, dostáváme poměr-

ně zajímavý obraz (obr. 17). Lokalita Křenov – na Pohledy leží na trase pokračující západním směrem rovněž s nálezy doby římské (Vích 2017) dále do Čech. V okolí Křenova pak cesta musela překonat členité údolí z východu i západu lemované příkrými terénními zlomy. Právě v poloze Křenov na Pohledy terén umožňoval sestoupit do údolí s obejitím neschůdného terénního zlomu



**Obr. 17.** LIDARové zobrazení úseku dálkové komunikace mezi Křenovem – na Pohledy a Jevíčkem. 1 – Křenov – na Pohledy, 2 – mařínské hradisko, 3 – Zadní Arnoštov „Na Žlábčích“, 4 – římský krátkodobý tábor u Jevíčka. V úseku mezi Křenovem – na Pohledy a mařínským hradíštěm nejsou dochovány úvozy, cesta zde ale mohla jít pouze po zřetelném terénním hřebtu (zvýrazněno šipkami). V úseku mezi mařínským hradíštěm a Jevíčkem pak trasu markují úvozy (červené linie). Ve výřezu je prostorová distribuce nálezů doby římské na mařínském hradíšti (B) a v poloze Na Žlábčích (A, autor D. Vích, podklady J. Martínek).

**Fig. 17.** LIDAR depiction of the section of the long-distance route between Křenovem – na Pohledy and Jevíčko. 1 – Křenov – na Pohledy, 2 – Mařín hillfort, 3 – Zadní Arnoštov “Na Žlábčích”, 4 – short-term Roman camp in Jevíčko. In the section between Křenov – na Pohledy and the Mařín hillfort the cuttings have not been preserved, but the road here could only have gone along the marked ridge of the terrain (highlighted with arrows). In the section between the Mařín hillfort and Jevíčko, the route is marked by cuttings (red lines). The cross-section shows the spatial distribution of the finds from the Roman period on the Mařín hillfort (B) and in this site of “Na Žlábčích” (A, author D. Vích, background information maps J. Martínek).



(obr. 17: 1) a po výrazném terénním hřbetu přejít jinak obtížně překonatelné údolí (obr. 17, úsek mezi 1 a 2 zdůrazněn šipkami, *Cendelín/Bolina/Adam 2010*, 39). Někde v okolí mařínského hradiště pak bylo nutné překonat další terénní zlom, přesné místo průběhu komunikací zde však není jasné, protože se zde (poněkud překvapivě) na rozdíl od Křenova úvozy nedochovaly (*Cendelín 2004*, 292). Existence raně středověkého hradiště pak nepochybně s touto dálkovou komunikací souvisí a jistě opět není náhoda, že se nachází v místě nebezpečného místa překonávajícího terénní zlom s vizuální možností dálkové kontroly údolí pod sebou. Určitý význam mělo toto místo zjevně i před založením hradiště, jak dokládají i prezentované nálezy. Je dokonce možné, že středověké hradiště zde vzniká s ohledem na starší tradici strategického kontrolního bodu. Od mařínského hradiště pak cesta podle konfigurace terénu a dochovaných úvozů pokračovala přes Zadní Arnoštov, polohu „Na Žlíbcích“ až do údolí Malé Hané (obr. 17: 2–4). Umístění římského krátkodobého tábora na táhlém hřbetu vymezeném drobnou bezejmennou vodotečí ze severu a Malonínským potokem z jihu (obr. 17: 4) proto působí zcela logicky, protože kontroluje vyústění této dálkové cesty propojující dnešní Malou Hanou s Českou kotlinou, odkud mohl hrozit v době markomanských válek vpád barbarů. Pohnutá doba markomanských válek zanechala sice v archeologickém obrazu nejvýznamnější stopu, to že daná trasa byla používána před i po této době, dokládají další nálezy (spona typu A 69 a spona s knoflíkem na lučíku ze Zadního Arnoštova „Na Žlíbcích“, zlomky westlandského kotle, depot se symetrickou radlicí s laloky a mečem typu Bell Zemplín z Křenova – na Pohledy).

S komunikacemi se pojí také otázka rituálních aktivit a jejich dokladů v hornatém terénu nejen na českomoravském pomezí (*Vích et al. 2018; týž et al. 2020; Vích/Jílek 2016*; pro Krušné hory *Čižmář 2008; Půlpánová-Reszczyńska/Půlpán/Ondráčková 2018*).

V případě jednotlivých nálezů militarií a spon může být zodpovězení této otázky pouze nejednoznačné, a to přes to, že rituální deponování zbraní a jejich součástí pro dobu římskou a dobu stěhování národů patří k dnes již podrobně dis-

kutovaným tématům (souhrnně *Bradley 2017*, 17, 18, 34, 103, 104, Fig. 5). Zlomky westlandského kotle podobně jako spona s knoflíkem na lučíku mají paralely na výšinných lokalitách v horním Porýní a jihozápadním Německu (souhrnně *Hoeper 2003*, Abb. 1, Taf. 1, 42), otázkou zůstává jejich význam v zájmovém území. Na některých výšinných nalezištích jihozápadního Německa docházelo ve 4/5. století k přetavování a zpracování bronzového šrotu včetně zlomků westlandských kotlů a jsou tradičně vnímána jako sídla elity a vojenských družin, nebo jako tábory a vojenská shromaždiště (*Hoeper 2003*, 147–153, zde i další literatura; *Steuer 1994*, 136, Fig. 12), pro takovéto určení nemáme v našem případě jednoznačné argumenty, a to přes to, že westlandský kotel nese zjevné stopy úmyslného rozstříhání a vazba na práci s kovem se zde přímo nabízí. Z blízkosti místa nálezu kotle pochází i zlomky římské přilby typu Niederbieber (*Droberjar/Jarůšková 2018*, 659, obr. 5), u nichž rovněž nemůžeme vyloučit, že spadají do kategorie „kovového šrotu“. Doklady práce s kovy je však nutné hledat především na sídlištích a ta jsou podobně jako u nálezů z fází B2b až C1a lokalizovaná až na k. ú. Jevíčka (*Droberjar 2019; Droberjar/Jarůšková 2017; Droberjar/Jarůšková/Knápek 2019; Vích 2007; týž 2014*). Nabízí se tedy opět vysvětlení související s rituálními aktivitami, a to zejména v případě zbytků westlandského kotle. Rituální zacházení s celými exempláři popisovaných nádob máme doloženo především ve Skandinávii, kde se tyto tvary vyskytují ve vodním a podmáčeném prostředí (*Hoeper 1999*, 239, 240; *Straume/Bollingberg 1995*, 132). Jejich lokalizace je také vázána na brody. Tato tradice plynule přechází do vikingského období, kdy se kotle rovněž stávají pravidelnou součástí depotů (*Lund 2008*, 56, 63). Kotel ze Zadního Arnoštova je však rozlámáný/rozstříhaný, tento důležitý aspekt však možnému rituálnímu jednání nutně neodporuje. *R. Bradley (2017*, 134, 135, 139) naposledy naznačil, že zejména pro období popelnicových polí je nutné vnímat zlomkově zachované předměty v depotech jako doklady rituálu „pars pro toto“ (k problému např. *Salaš 2005*, 225; *Vachta 2016*, 62 s další literaturou), kdy jednotliví členové komunity mohli deponovat pouze zlomky předmětů.

Výše zmíněný autor poněkud příběhově poukazuje na specifickou historii prestižnějších kategorií artefaktů, ke kterým kuchyňské kotle náležely již od pozdní doby železné a svůj význam statusových předmětů souvisejících s pohřební hostinou (k tomu podrobně *Steuer 2006*, 14, 19, 20) si v hrobových výbavách udržely až do doby stěhování národů (přehledově viz *Hauken 2005*, 51–55; *Jílek/Lamprecht 2020*, 35–37; *Voss 2006*, 25, 35). V tomto smyslu můžeme nález srovnat s nedalekým objevem v Boršově u Moravské Třebové (*Vích et al. 2020*), který lze s jistou dávkou opatrnosti interpretovat jako (mimo jiné) doklad rituální práce s kovy.

Přítomnost artefaktů, které náleží k výstroji římského vojska, jakož i zastoupení kolínkovitých spon, oblíbených v limitním a provinciálním civilním prostředí, vede k úvaze o spojitosti těchto artefaktů s římskou okupační mocí, o jejíž přítomnosti na Malé Hané výmluvně hovoří objev krátkodobého tábora v Jevíčku.

Pro přítomnost římské vojenské moci na vrcholu kopce Hradiště (mařínské hradisko) sice kromě několika ojedinělých artefaktů postrádáme přímé argumenty, pro tuto skutečnost ale hovoří další nepřímé doklady. Zkušeným římským válečníkům kontrolujícím svým ležením vyústění dálkové komunikace jistě neunikl klíčový strategický význam kopce Hradiště. Malá posádka o síle několika mužů zde mohla snadno registrovat blížící se nepřátelskou sílu v údolí pod sebou směrem na západ, analýza viditelnosti naznačuje, že za určitých okolností bylo v jejich silách rychle signalizovat tuto skutečnost do mařínského tábora směrem na východ.<sup>12</sup>

Nemůžeme také přirozeně vyloučit užívání zmíněných předmětů barbary, neboť římská militária a spony se nejen v období střední doby římské stávala pravidelnou součástí jejich hrobových výbav (k tomu viz *Kaczanowski 1992*; *Musil 1994*) a známe je i ze soudobých barbarských sídlišť (např. *Rajtár 2014*; *Rajtár/Kolníková/Kuzmová 2017*; *Zeman et al. 2017*). Předměty vojenské povahy mohou být kořistí barbarů po opuštění krátkodobého tábora Římany.

Otázku přítomnosti římských vojáků v prostoru pozdějšího mařínského hradiště by teoreticky mohl vyřešit archeologický výzkum, to je však v budoucnu jen málo pravděpodobné, protože podle výsledků geofyzikálního průzkumu provedeného R. Křivánkem z Archeologického ústavu v Praze ve spolupráci s Regionálním muzeem ve Vysokém Mýtě je plocha zničena orbou a dalšími aktivitami s nízkou pravděpodobností dochování intaktních situací.<sup>13</sup>

## 7. ZÁVĚR

Soubory artefaktů z mařínského hradiště a Zadního Arnoštova „Na Žlábkách“ datované do doby římské až doby stěhování národů představují důležité podněty pro bádání nejen na českomoravském pomezí.

Utváření terénu, přítomnost reliktních zaniklých cest i další nálezy dokládají vazbu získaných artefaktů na dálkovou komunikaci propojující moravské území s Českou kotlinou, přičemž alespoň průběh hlavní trasy dokážeme v úseku mezi Křenovem a Jevíčkem dnes již relativně přesně verifikovat. Nálezy nejen z pojednávaných lokalit, ale i dalších míst (zejména lokalita Křenov – na Pohledy) ukazují na využívání komunikačního koridoru po celou dobu římskou (interpretativně přesvědčivé jsou především nálezy z fází B2b až C1a a poté z širokého úseku od fáze C1b do doby stěhování národů), i když archeologicky nejuchopitelnější jsou aktivity z období kolem markomanských válek. Některé nálezy s větší či menší pravděpodobností dokládají rituální aktivity (cestovní obětiny – zlomky westlandského kotle, depot z Křenova – na Pohledy).

Zvýšený počet římských militárií, skladba nevelkého (a bohužel statisticky neprůkazného) počtu nalezených římských mincí, strategická poloha kopce Hradiště s vizuální kontrolou komunikace směrem do českého vnitrozemí i teoreticky možný vizuální kontakt s krátkodobým římským táborem u dnešního Jevíčka kontrolující vyústění dálkové komunikace do údolí dnešní Malé Hané pak dovolují vyslovit hypotézu o mož-

<sup>12</sup> Analýza vazby římských militárií na možné komunikační koridory římského vojska, byla již několikrát úspěšně aplikována na území středního Podunají (*Komoróczy 2009*, 118, Abb. 2, 8, 9; *Komoróczy/Vlach 2010*, 255, obr. B–E; *Komoróczy/Vlach/Hložek 2014*).

<sup>13</sup> Geofyzikální průzkum bude vzhledem k získaným poznatkům publikován v souvislosti se zpracováním středověké komponenty.

ném předsunutém strážním stanovišti kontrolovaném římskou posádkou majícím za úkol podat včasné varování o pohybu barbarských skupin z vnitrozemí. Pro absenci dalších důkazů v podobě intaktních archeologických situací však zůstává tato myšlenka pouze v hypotetické rovině.

## LITERATURA

- Andrzejowski 1991* – J. Andrzejowski: Okucia rogów do picia s mlodsego okresu przedrzymskiego i okresu wpływów rzymskich w Europie środkowej i północnej (Próba klasyfikacji i analizy chronologiczno-terytorialnej). Materiały Starożytne i Wczesnośredniowieczne 6, 1991, 7–120.
- Baumeister 2004* – M. Baumeister: Metallrecycling in der Frühgeschichte. Untersuchungen zur technischen, wirtschaftlichen und gesellschaftlichen Rolle sekundärer Metallverwertung im 1. Jahrtausend n. Chr. Würzburger Arbeiten zur Prähistorischen Archäologie 3. Rahden/Westfalen 2004.
- Bemmann 2008* – J. Bemmann: Anmerkungen zu einigen Kleinfunde der jüngeren Römischen Kaiserzeit und Völkerwanderungszeit aus Mitteldeutschland. In: B. Niezabitowska-Wisniewska et al. (eds.): The Turbulent Epoch. New Materials from the Late Roman Period and the Migration Period. Monumenta Studia Gothica V. Lublin 2008, 21–38.
- Beutler et al. 2017* – F. Beutler/Ch. Farka/Ch. Gugl/F. Humer/G. Kremer: Der Adler Roms. Carnuntum und die Armee der Cäsaren. Katalog des NÖ Landesmuseums NF 538. Oppenheim am Rhein-Wien 2017.
- Bischof/Coulston 2009* – M. C. Bischof/J. C. Coulston: Roman military equipment from the Punic wars to the fall of Rome. Oxford 2009.
- BMC RE 3* – H. Mattingly: Coins of the Roman Empire in the British Museum. Volume III. Nerva to Hadrian. London 1936.
- BMC RE 4* – H. Mattingly: Coins of the Roman Empire in the British Museum. Volume IV. Antoninus Pius to Commodus. London 1940.
- Bollingberg/Lund Hansen 2016* – H. J. Bollingberg/U. Lund Hansen: The story of the westland cauldrons in Europe: trace element criteria for their origin. Acta Archaeologica København 87, 2016, 131–178.
- Bradley 2017* – R. Bradley: A Geography of Offerings: Deposits of Valuables in the Landscapes of Ancient Europe. Oxbow Insights in Archaeology. Oxford – Philadelphia 2017.
- Cendelín 2004* – D. Cendelín: Mařínské hradisko ve světle komunikačních souvislostí a fortifikačních anomálií, Vlastivědný věstník moravský 2004/3, 2004, 285–297.
- Cendelín/Bolina/Adam 2010* – D. Cendelín/P. Bolina/D. Adam: Jevičko na cestě z Prahy do Olomouce v období raného středověku. Jevičko 2010.
- Ciugudean 2012* – D. Ciugudean: Another roman grave with military equipment from Apulum. Acta Musei Apulensis – Apulum XLIX, 2012, 109–130.
- Ciugudean 2017* – D. Ciugudean: Roman bronze military equipment and harness in the collections of the Alba Iulia museum. I. Belt and baldric plates. Acta Musei Apulensis – Apulum LIV, 2017, 341–408.
- Claridge 2010* – A. Claridge: Rome. An Oxford Archaeological Guide. Oxford 2010.
- CRFB-D4* – M. Erdrich: Corpus der römischen Funde im europäischen Barbaricum. Deutschland Bd. 4. Hansestadt Bremen und Bundesland Niedersachsen. Bonn 2002.
- Čižmář 2008* – M. Čižmář: Příspěvek k otázce spojnice mezi Čechami a Saskem v době železné. In: E. Černá/J. Kuljavceva Hlavová (eds.): Archeologické výzkumy v severozápadních Čechách v letech 2003–2007. Sborník k životnímu jubileu Zdeňka Smrže. Příspěvky k pravěku a rané doby dějinné severozápadních Čech 15. Most 2008, 229–239.
- Danielisová 2008* – A. Danielisová: Praktické problémy spojené s modelováním pohybu pravěkou kulturní krajinou. In: Macháček, J. (ed.): Počítačová podpora v archeologii 2. Brno – Praha – Plzeň 2008, 110–119.
- Deschler-Erb 1999* – E. Deschler-Erb: Ad arma. Römisches Militär des 1. Jahrhunderts n. Chr. in Augusta Raurica. Forschungen in Augst 28. Augst 1999.

- Droberjar 1994* – E. Droberjar: Objekt 63 in der römischen Höhenbefestigung Mušov-Burgstall (Tschechische Republik). *Archäologisches Korrespondenzblatt* 24, 1994, 73–79.
- Droberjar 2012* – E.: Římské kolínkovité spony v Čechách. *Archeologické výzkumy v jižních Čechách* 25, 2012, 119–131.
- Droberjar 2015* – E. Droberjar: Cizorodý nálezo-  
vý soubor z konce doby římské až počátku  
doby stěhování národů z Pšovlk, okr. Rakov-  
ník. *Archeologie ve středních Čechách* 19,  
2015, 707–129.
- Droberjar 2019* – E. Droberjar: Římská barbo-  
tinová keramika z Jevíčka, okr. Svitavy. *Ar-  
cheologie ve středních Čechách* 23, 515–520.
- Droberjar 2020* – E. Droberjar: Marcomannic  
wars and new Roman period discoveries in Je-  
víčko (West Moravia/East Bohemia). *Archeo-  
logické rozhledy* LXXII/4, 2020, 479–522.
- Droberjar/Frána 2004* – E. Droberjar/J. Frána:  
Antická mosaz (aurichalcum) v českých ná-  
lezech časně doby římské. *Archeologie ve  
středních Čechách* 8/2, 2004, 441–462.
- Droberjar/Jarůšková 2017* – E. Droberjar/Z. Ja-  
růšková: Barbaři v pohybu. Jevíčko a Malá  
Haná v době římské. Boskovice 2017.
- Droberjar/Jarůšková 2018* – E. Droberjar/Z. Ja-  
růšková: Aurei císaře Nerona na Malé Hané  
a otázka jejich interpretace. *Archeologie ve  
středních Čechách* 22, 2018, 655–662.
- Droberjar/Jarůšková/Knápek 2019* – E. Drober-  
jar/Z. Jarůšková/R. Knápek: The Importance  
of Finds from the Migration Period in Malá  
Haná (Moravia). *Přehled výzkumů* 60/1,  
2019, 109–141.
- Dyčka 2016* – M. Dyčka: To See and to be Seen –  
the Antonine Wall in the Context of Spatial  
Analysis. *Studia Hercynia* 20, 2016, 40–66.
- Elschek 2017* – K. Elschek: Ausgewählte Funde  
und Befunde aus der Zeit der Markomannen-  
kriege von Zohor und dem westslowakischen  
Limesvorland. In: *Na hranicích impéria – ex-  
tra fines imperii*. Brno 2017, 73–82.
- Ertel et al. 1999* – Ch. Ertel/V. Gassner/S. Jilek/H.  
Stiglitz: Untersuchungen zu den Gräberfel-  
dern in Carnuntum. Band I: Der Archäolo-  
gische Befund. Der römische Limes in Öster-  
reich Heft 40. Wien 1999.
- Fischer 2012* – T. Fischer: Die Armee der Caesa-  
ren. Archäologie und Geschichte. Regensburg  
2012.
- Fischer 2013* – T. Fischer: Die Soldaten des Maxi-  
minus Thrax. Die Einheiten und ihre Bewaff-  
nung. In: H. Pöppelmann et al. (eds.): *Roms  
vergessener Feldzug. Die Schlacht am Harz-  
horn*. Veröffentlichungen des Braunschweigi-  
schen Landesmuseums 115. Darmstadt 2013,  
198–206.
- Fröhlich/John/Militký 2013* – J. Fröhlich/J. John/J.  
Militký: Nález mince makedonského mě-  
sta Amfipolis z Českého Heršláku (okr. Čes-  
ký Krumlov). *Numismatický sborník* 27/1  
(2012–2013), 2013, 123–125.
- Gacuta 1993* – W. Gacuta: Przedmioty metalowe  
z Novae. 6 kampanii wykopaliskowych ekspe-  
dycji archeologicznej Uniwersytetu Warszaw-  
skiego w latach 1977–1987. *Novensia* 5, 1993,  
7–178.
- Grabherr 2012* – G. Grabherr: Gaben an die Göt-  
ter oder auf dem Weg verloren? Waffenfunde  
von der scheidelstrecke der römischen Fern-  
passroute. In: W. Meighörner (ed.): *Waffen  
für die Götter, Krieger Trophäen Heiligtümer*.  
Innsbruck 2012, 224–228.
- Gschwind 2004* – M. Gschwind: Abusina. Das rö-  
mische Auxiliarkastell. Eining an der Donau  
vom 1. bis 5. Jahrhundert n. Ch. *Münchner  
Beiträge zur Vor- und Frühgeschichte* 53.  
München 2004.
- Haberstroh 1996* – J. Haberstroh: Germanische  
Funde der römischen Kaiserzeit und Völker-  
wanderungszeit aus Oberfranken. *Archäologi-  
sches Nachrichtenblatt* 4/1996, Bd. 1, 338–345.
- Hatt 1964* – J. J. Hatt: Circonscription de Stras-  
bourg. *Gallia* 22/2, 1964, 339–374.
- Hauken 2005* – Å. D. Hauken: The Westland  
cauldrons in Norway. *Arkeologisk museum  
i Stavanger-Skrifter* 19. Stavanger 2008.
- Hladíková 2019* – K. Hladíková: Príspevok ku  
kovanim závesov picích rohov doby rímskej  
z južného Záhoria. *Zborník Slovenského ná-  
rodného múzea CXIII, Archeológia* 29, 2019,  
179–184.
- Hoeper 1999* – M. Hoeper: Kochkessel – Op-  
fergabe – Urne – Grabbeigabe – Altmetall.  
Zur Funktion und Typologie des Westland-

- kessel auf dem Kontinent. In: S. Brather/Ch. Bücker/M. Hoepfer (Hrsg.): Archäologie als Sozialgeschichte. Studien zu Siedlung, Wirtschaft und Gesellschaft im frühgeschichtlichen Mitteleuropa. Festschrift für Heiko Steuer. Studia Honoraria 9. Rahden/Westf. 1999, 235–249.
- Hoepfer 2003* – M. Hoepfer: Völkerwanderungszeitliche Höhenstationen am Oberrhein. Geisskopf bei Berghaupten und Kügeleskopf bei Ortenberg. Archäologie und Geschichte. Freiburger Forschungen zum ersten Jahrtausend in Südwestdeutschland 12. Ostfildern 2003.
- Horník/Kmošek 2020* – P. Horník/J. Kmošek: Spony z doby římské z Třebechovic pod Orebem (okr. Hradec Králové). Archeologie východních Čech 19, 2020, 106–116.
- Horník/Jílek/Militký/Kmošek 2020* – P. Horník/J. Jílek/J. Militký/J. Kmošek: Sídliště z doby římské v Černčicích (okr. Náchod), doklad výroby kolínkovitých spon a nákončí opasku na přelomu starší a mladší doby římské? Archeologie východních Čech 18/2019, 2020, 50–74.
- Hoss 2015* – S. Hoss: Zu einigen Dekorationsmotiven des 2. und 3. Jahrhunderts auf den Beschlagen von Soldatengürteln, Schultergurten und Fibeln. In: P. Henrich/Ch. Miks/M. Wieland (eds.): Non Solum... Sed etiam. Festschrift für Thomas Fischer zum 65. Geburtstag. Rahden/Westf. 2015, 199–206.
- Hoss 2017* – S. Hoss: Sharp dressed men: the Roman military belt as fashion item. Journal of Roman Military Equipment Studies 18, 2017, 85–99.
- Hughes 2009* – J. Hughes: Personifications and the Ancient Viewer: The Case of the Hadrianeum ‚Nations‘. Art History 32/1, 2009, 1–20.
- Hüssen/Rajtár 1994* – C. M. Hüssen/J. Rajtár: Zur Frage archäologischer Zeugnisse der Markomannenkriege in der Slowakei. In: H. Friesinger/J. Tejral/A. Stuppner (eds.): Markomannenkriege – Ursachen und Wirkungen. Spisy Archeologického ústavu AV ČR, Brno 1. Brno 1994, 217–232.
- James 2004* – S. James: The Excavation at Dura-Europos conducted by Yale University and the French Academy of Inscriptions and Letters 1928 to 1937. Final Report VII. The Arms and Armour and other Military Equipment. London 2004.
- Jílek 2013* – J. Jílek: Doba římská ve východních a severovýchodních Čechách. Sledování vzájemných interakcí germánské a římské společnosti v době římské. Disertace. Ústav archeologie a muzeologie. Filozofická fakulta Masarykovy univerzity. Brno 2013.
- Jílek/Horník/Kopřivová 2019* – J. Jílek/P. Horník/J. Kopřivová: Ein Körpergrab der späten römischen Kaiserzeit in Lovčice (okr. Hradec Králové/CZ). Jahrbuch des Römisch-Germanischen Zentralmuseums Mainz 61/1, 2014, 179–198.
- Jílek/Lamprecht 2020* – J. Jílek/A. Lamprecht: Žárový bojovnícký hrob ze sklonku starší doby římské z Vlkova nad Lesy, okr. Nymburk. Archeologie východních Čech 18, 2019, 30–49.
- Jirák 2012* – J. Jirák: Böhmen in der Spätantike und der Völkerwanderungszeit unter besonderer Berücksichtigung der Beziehungen zu Baiern und Thüringen. In: H. Fehr/I. Heitmeier (eds.): Die Anfänge Bayerns. Von Raetien und Noricum zur frühmittelalterlichen Baiovaria. Bayrische Landesgeschichte und europäische Regionalgeschichte Bd. 1. St. Ottilien 2012, 359–402.
- Jobst 1975* – W. Jobst: Die römischen Fibeln aus Lauriacum. Forschungen in Lauriacum 10. Linz 1975.
- Juhász 2018* – L. Juhász: Some notes on the Hadrianeum reliefs. Acta Archaeologica Academiae Scientiarum Hungaricae 69, 2018, 83–96.
- Jütting 1995* – I. Jütting: Die Kleinfunde aus dem römischen Lager Eining-Unterfeld. Bayerische Vorgeschichtsblätter 60, 1995, 143–230.
- Kaczanowski 1992* – P. Kaczanowski: Importy broni rzymskiej na obszarze europejskiego barbaricum. Kraków 1992.
- Kaufmann-Heinimann 1998* – A. Kaufmann-Heinimann: Götter und Lararien aus Augusta Raurica. Herstellung, Fundzusammenhänge und sakrale Funktion figürlicher Bronzen in einer römischen Stadt. Forschungen in August 26. August 1998.
- Koch 1974* – R. Koch: Spätkaiserzeitliche Fibeln aus Südwestdeutschland. In: G. Kossack/G. Ulbert (eds.): Studien zur vor und frühgeschicht-

- lichen Archäologie 1. Allgemeines, Vorgeschichte, Römerzeit, Münchner Beiträge zur Vor und Frühgeschichte Ergänzungsband 1/I. München 1974, 227–246.
- Komoróczy 2008* – B. Komoróczy: Hradisko (Burgstall) u Mušova ve světle výzkumů v letech 1994–2007. In: E. Droberjar/B. Komoróczy/D. Vachútová (eds.): Barbarská sídliště. Chronologické, ekonomické a historické aspekty jejich vývoje ve světle nových archeologických výzkumů (Archeologie barbarů 2007). Spisy Archeologického ústavu AV ČR Brno 37. Brno 2008, 391–438.
- Komoróczy 2009* – B. Komoróczy: Marcomannia. Der Militärschlag gegen die Markomannen und Quaden – ein archäologischer Survey. In: 2000 Jahre Varusschlacht Konflikt. Stuttgart 2009, 114–125, 409.
- Komoróczy/Vlach 2010* – B. Komoróczy/M. Vlach: Využití GIS pro výzkum zásahu na barbarské území ve střední Evropě. In: J. Beljak/G. Březinová/V. Varsik (eds.): Archeológia barbarov 2009. Archaeologica Slovaca Monographiae Communicationes. Tomus X. Nitra 2010, 247–289.
- Komoróczy/Vlach/Hložek 2014* – B. Komoróczy/M. Vlach/M. Hložek: Detektorový nález římsko-provinciálního prolamovaného kování z Pavlova, Jihomoravský kraj. In: J. Čižmářová et al. (eds.): Moravské křižovatky, Střední Podunají mezi pravěkem a historií. Brno 2014, 767–784.
- Komoróczy et al. 2020* – B. Komoróczy/J. Rajtár/M. Vlach/C. M. Hüßen: A companion to the archaeological sources of Roman military interventions into the Germanic territory north of the Danube during the Marcomannic Wars. In: M. Erdrich/B. Komoróczy/P. Madejski/M. Vlach (eds.): Marcomannic Wars and Antonine Plague Selected essays on two disasters that shook the Roman World. Spisy Archeologického ústavu AV ČR Brno 61. Brno 2020, 173–254.
- Krekovič 1994* – E. Krekovič: Military equipment on the territory of Slovakia. In: C. van Driel-Murray (ed.): Military equipment in context. Journal of Roman Military Equipment Studies 5, 1994, 211–225.
- Kurz 2006* – K. Kurz: Mince starověkého Řecka a Říma. Antická numismatika. Praha 2006.
- Künzl 1993* – E. Künzl: Die Alamannenbeute aus dem Rhein bei Neupotz. Plünderungsgut aus dem römischen Gallien. Monographien RGZM Bd. 34/1–4. Mainz 1993.
- Leconte 2013* – L. Leconte: L'instrumentum métallique lié à la cuisine en Gaule romaine. Gallia 70/1, 2013, 233–251.
- Legendre 1996* – N. Legendre: Techniques de forage des chaudrons gallo-romains en alliage cuivreux: les découvertes d'Alspach (Haut-Rhin) et d'Hettange (Moselle). Revue archéologique de l'Est. 47, 1996, 67–77.
- Lenz 2006* – K. H. Lenz: Römische Waffen, militärische Ausrüstung und militärische Befunde aus dem Stadtgebiet der Colonia Ulpia Traiana (Xanten). Bonn 2006.
- Luik 2015* – M. Luik: Ein Hemmoorer Eimer von Rainau-Dalkingen, Ostalbkreis, Baden-Württemberg. Germania 91, 2013, 115–154.
- Lund 2008* – J. Lund: Banks, Borders and Bodies of Water in a Viking Age Mentality. Journal of Wetland Archaeology 8, 2008, 53–72.
- Maspoli 2014* – A. Z. Maspoli: Römische Militaria aus Wien. Die Funde aus dem Legionslager, den canabae legionis und der Zivilsiedlung von Vindobona. Monografien der Stadtarchäologie Wien, Band 8. Wien 2014.
- Meyer 1960* – E. Meyer: Die Bügelknopffibeln. Arbeits- und Forschungsberichte zur sächsischen Bodendenkmalpflege 8, 1960, 216–349.
- Miks 2007* – Ch. Miks: Studien zur römischen Schwertbewaffnung in der Kaiserzeit. Kölner Studien zur Archäologie der römischen Provinzen Bd. 8, Text, Katalog und Tafeln. Rahden 2007.
- Miks 2017* – Ch. Miks: Zum Wandel der römischen Schwertausrüstung im 2. Jh. n. Chr. und seinem Stand zur Zeit der Markomannenkriege. Študijné zvesti Archeologického ústavu SAV 62, 2017, 113–136.
- Militký 2010* – J. Militký: Nález denáru císaře Nerona v Nakléřově (okr. Ústí nad Labem). Numismatický sborník 24, 2009, 317–319.
- Militký 2013* – J. Militký: Nálezy řeckých, římských a raně byzantských mincí v Čechách (5.

- století před Kristem až 7. století po Kristu). Komentovaný katalog nálezového fondu. Praha 2013.
- Militký/John/Račák 2021* – J. Militký/J. John/J. F. Račák: Hromadný nález antických mincí a spony z doby stěhování národů z k. ú. Šafléřov, obec Malšín (okr. Český Krumlov). Archeologické výzkumy v jižních Čechách 34, 2021, v tisku.
- Militký/Vích 2011* – J. Militký/D. Vích: Nové nálezy římských mincí na česko-moravském pomezí. In: Droberjar, E. (ed.): Archeologie barbarů 2010. Hroby a pohřebiště Germánů mezi Labem a Dunajem. Sborník příspěvků ze VI. Protohistorické konference Hradec Králové, 6.–9. září 2010. Studia Archaeologica Suebica I. Olomouc 2011, 279–306.
- MIR 14* – B. Woytek: Moneta Imperii Romani 14. Die Münzprägung der Kaisers Traianus (98–117). Band 1–2. Veröffentlichungen zur Numismatik (vormals VÖ der Numismatischen Kommission), Band: 48. Wien 2010.
- Motyková/Drda/Rybová 1978* – K. Motyková/P. Drda/A. Rybová: Závist. Keltské hradiště ve středních Čechách. Památníky naší minulosti 9. Praha 1978.
- Musil 1994* – J. Musil: Römische Waffen und Rüstung aus Böhmen. Památky archeologické LXXXV, 1994, 5–14.
- Mustață 2017* – S. Mustață: The Roman Metal Vessels from Dacia Porolissensis. Patrimonium Archaeologicum Transylvanicum vol. 12. Cluj-Napoca 2017.
- Němcová et al. 2020* – J. Němcová/J. Jílek/P. Kejval/D. Vích: Nákončí pochvy meče z doby římské z Bělé u Jevíčka. Moravskotřebovské vlastivědné listy 27, 2020, 46–50.
- Nicolay 2007* – J. Nicolay: Armed Batavians. Use and significance of weaponry and horse gear from non-military contexts in the Rhine Delta (50 BC to AD 450). Amsterdam Archaeological Studies 11. Amsterdam 2007.
- Oldenstein 1976* – J. Oldenstein: Zur Ausrüstung römischer Auxiliareinheiten. Studien zu Beschlägen und Zierat an der Ausrüstung der römischen Auxiliareinheiten des obergermanisch-raetischen Limesgebiet aus dem zweiten und dritten Jahrhundert n. Chr. Bericht der Römisch-Germanischen Kommission 57, 1976, 49–284.
- Olędzki 2007* – M. Olędzki: Roman knee fibulae with a semicircular plate on the head from present-day Poland. In: E. Droberjar/O. Chvojka (eds.): Archeologie barbarů 2006. Archeologické výzkumy v jižních Čechách. Supplementum 3. České Budějovice 2007, 113–117.
- Petrovszky/Bernhard 2016* – R. Petrovszky/H. Bernhard: Versunken im Rhein – Typenspektren der „Beutehorte“ im Vergleich. In: H. U. Voss/N. M. Scheessel (Hrsg.): Archäologie zwischen Römern und Barbaren. Zur Datierung und Verbreitung römischer Metallarbeiten des 2. und 3. Jahrhunderts n. Ch. im Reich und im Barbaricum – ausgewählte Beispiele (Gefäße, Fibeln, Bestandteile militärischer Ausrüstung, Kleingerät, Münzen). Teil I. Kolloquien zur Vor- und Frühgeschichte Bd. 22/1. Frankfurt a. M. – Bonn 2016, 245–260.
- Profantová/Vích 2008* – N. Profantová/D. Vích: Raně středověké osídlení Malé Hané na pomezí Čech a Moravy. Přehled výzkumů 49, 2008, 133–164.
- Půlpánová-Reszczyńska/Půlpán/Ondráčková 2018* – A. Půlpánová-Reszczyńska/M. Půlpán/L. Ondráčková: Depot zbraní z doby římské v krušnohorské Hradečné, okr. Chomutov. Archeologické rozhledy LXX/4, 2018, 554–595.
- Radman-Livaja 2004* – I. Radman-Livaja: Militaria Sisciensia. Nalazi rimske vojne opreme iz Siska u fundusu Archeološkoga muzeja u Zagrebu. Musei Archaeologici Zagrabienensis Catalogi et Monographiae vol. 1. Zagreb 2004.
- Radman-Livaja 2008* – I. Radman-Livaja: Roman belt-fittings from Burgenae. Journal of Roman Military Equipment Studies 16, 2008, 295–308.
- Rajtár 1994* – J. Rajtár: Waffen und Ausrüstungssteile aus dem Holz-Erde-Lager von Iža. In: C. van Driel-Murray (ed.): Military equipment in context. Journal of Roman Military Equipment Studies 5, 1994, 83–95.
- Rajtár 2014* – J. Rajtár: Stĺp Marca Aurelia a archeologické doklady o rímskych výpravách proti Kvádom. In: V. Turčan (ed.): Stĺp Marca Aurelia a stredné Podunajsko. Zborník Slovenského národného múzea – Archeológia, Supplementum 8, 2014, 107–140.

- Rajtár/Kolníková/Kuzmová 2017* – J. Rajtár/E. Kolníková/K. Kuzmová: K osídlení Chotína v době římské. *Studia Historica Nitriensia* 21, Supplementum, 2017, 173–193.
- Redžić 2013* – S. T. Redžić: Rímske počasie garniture na tlu Srbije od I do IV veka. Univerzitet u Beogradu, Filozofski fakultet, doktorska disertacija. Beograd 2013.
- RIC 2* – H. Mattingly/E. A. Sydenham: The Roman Imperial Coinage. Volume II. Vespasian to Hadrian. London 1926.
- RIC 2/12* – I. A. Carradice/T. V. Buttrey: The Roman Imperial Coinage. Volume II – Part 1. Second fully revised edition. From AD 69–96 Vespasian to Domitian. London 2007.
- RIC 2/3* – R. Abdy/P. Mittag: Roman Imperial Coinage. Volume II – Part 3. From AD 117–138. Hadrian. London 2019.
- RIC 3* – H. Mattingly/E. A. Sydenham: The Roman Imperial Coinage. Volume III. Antoninus Pius to Commodus. London 1930.
- Řezáč/John/Zavřel 2019* – M. Řezáč/J. John/P. Zavřel: Nedochovaný depot římských mincí z Folmavy. Česká Kubice – Horní Folmava, okres Domažlice. *Archeologie západních Čech* 10, 2019, 42–50.
- Salač 2008* – V. Salač: Starší doba římská. In: *Archeologie pravěkých Čech 8 – doba římská a stěhování národů*. Praha 2008, 17–126.
- Salaš 2005* – M. Salaš: Bronzové depoty střední až pozdní doby bronzové na Moravě a ve Slezsku. Brno 2005.
- Sapelli 1999* – M. Sapelli: *Provinciae Fideles, Il fregio del tempio di Adriano in Campo Marzio*. Roma 1999.
- Sedlmayer 1995* – H. Sedlmayer: Die römischen Fibeln von Wels. Sonderreihe zum Jahrbuch des Musealvereins Wels, Band 4. Wels 1995.
- Schmid 2010* – S. Schmid: Die römischen Fibeln aus Wien. Wien 2010.
- Schmitz-Pillmann 1997* – P. Schmitz-Pillmann: Kritische Bemerkungen zum sogenannten Doppelgrab der Völkerwanderungszeit von Teterow, Landkr. Güstrow. *Ethnographisch-Archäologische Zeitschrift* 38/1, 1997, 39–64.
- Schneider/Vích 2018* – P. Schneider/D. Vích: Středověké mince z hradiště u Mařína, k. ú. Zadní Arnoštov a Křenov (okr. Svitavy). Numismatický sborník 32/1, 2018, 86–90.
- Steuer 1994* – H. Steuer: Handwerk auf spätantiken Höhensiedlungen des 4./5. Jahrhunderts in Südwestdeutschland. In: P. O. Nielsen/K. Randsborg/H. Thrane (Hrsg.): *The Archaeology of Gudme and Lundeborg*. *Arkaeologiske studier* X. Copenhagen 1994, 128–144.
- Steuer 2006* – H. Steuer: Fürstengräber, Adelsgräber, Elitagräber: Methodisches zur Anthropologie der Prunkgräber. In: C. von Carnap-Bornheim/D. Krausse/A. Wesse (eds.): *Herrschaft-Tod-Bestattung. Zu den vor- und frühgeschichtlichen Prunkgräbern als archäologisch-historische Quelle*. Internationale Fachkonferenz Kiel 16.–19. Oktober 2003. *Universitätsforschungen zur Prähistorischen Archäologie* 139. Bonn 2006, 11–25.
- Straume/Bollingberg 1995* – E. Straume/H. J. Bollingberg: Ein Westlandkessel der jüngeren Kaiserzeit aus Bjarkøy in Nordnorwegen – Neue Analyse eines alten Fundes. *Archäologisches Korrespondenzblatt* 25, 1995, 127–142.
- Suchopárová/Holbová/Kravciv 2019* – K. Suchopárová/T. Holbová/Š. Kravciv: Laténské nálezy z lokality Černčice (okr. Náchod). *Archeologie východních Čech* 15, 2018, 22–33.
- Tejral 1994* – J. Tejral: Römische und germanische Militärausrüstungen der antoninischen Periode im Licht norddanubischer Funde. In: C. von Carnap-Bornheim (ed.): *Römische und barbarische Bewaffnung in den ersten vier nachchristlichen Jahrhunderten*. Akten des 2. Internationalen Kolloquiums in Marburg a. d. Lahn, 20. bis 24. Februar 1994. Veröffentlichung des Vorgeschichtlichen Seminars Marburg 8. Lublin – Marburg 1994, 27–60.
- Tejral 2008* – J. Tejral: Ke zvláštnostem sídlištního vývoje v době římské na území severně od středního Dunaje. In: E. Droberjar/B. Komoróczy/D. Vachútová (eds.): *Barbarská sídliště. Chronologické, ekonomické a historické aspekty jejich vývoje ve světle nových archeologických výzkumů*. *Archeologie barbarů* 2007. Spisy Archeologického ústavu AV ČR v Brně 37. Brno 2008, 67–98.
- Tejral 2011a* – J. Tejral: Die Nachträglichen germanischen Siedlungsaktivitäten am Burg-



- stall bei Mušov. Versuch einer Interpretation. *Přehled výzkumů* 52/2, 2011, 39–73.
- Tejral 2011b* – J. Tejral: Einheimische und Fremde. Das norddanubische Gebiet zur Zeit der Völkerwanderung. *Spisy Archeologického ústavu AV ČR v Brně* 33. Brno 2011.
- Tobler 1993* – W. Tobler: Three Presentations on Geographical Analysis and Modeling. Technical Report 93/1. Santa Barbara 1993.
- Unz/Deschler-Erb 1997* – Ch. Unz/E. Deschler-Erb: Katalog der Militaria aus Vindonissa. Militärische Funde, Pferdegeschirr und Jochteile bis 1976. Veröffentlichungen der Gesellschaft pro Vindonissa XIV. Brugg 1997.
- Vachta 2016* – T. Vachta: Bronzezeitliche Hortfunde und ihre Fundorte in Böhmen. *Berlin Studies of the ancient world* 33. Berlin 2016.
- Vích 2007* – D. Vích: Českomoravské pomezí v době římské. *Pravěk NŘ – Supplementum* 17, 2007, 173–229.
- Vích 2014* – D. Vích: Spony z doby římské ze severní části Boskovické brázdy. *Archeologické rozhledy* LXVI/4, 2014, 704–730.
- Vích 2015* – D. Vích: Příspěvek k metodice detektorové prospekce v archeologii. *Archeologie východních Čech* 7, 2014, 152–172.
- Vích 2017* – D. Vích: Relikty zaniklých cest mezi Křenovem a Hradcem nad Svitavou na Svitavsku ve světle archeologických nálezů. *Archeologie východních Čech* 12, 2016, 56–75.
- Vích et al. 2018* – D. Vích/M. J. Biborski/M. R. Biborski/J. Jílek/J. Štěpiňski/J. Martínek: Nálezy mečů protohistorického období z Křenova na Svitavsku. *Archeologické rozhledy* LXX/4, 2018, 526–553.
- Vích et al. 2019* – D. Vích/J. Jílek/J. Volf/P. Šída/M. Holub/J. Novák/M. J. Biborski/M. R. Biborski/P. Horník/J. Militký: Sídliště z doby římské v Cerekvici nad Loučnou. *Archeologie východních Čech* 18, 2019, 75–204.
- Vích et al. 2020* – D. Vích/J. Jílek/J. Kmošek/M. J. Biborski/M. R. Biborski/J. Martínek: Soubor kovových předmětů z doby římské z Boršova na Moravskotřebovsku. *Památky archeologické* CXI, 2020, 159–192.
- Vích/Jílek 2016* – D. Vích/J. Jílek: Hrob nebo depot? Nález z doby římské u Jevíčka (okr. Svitavy). *Archeologické rozhledy* LXVIII/3, 2016, 363–380.
- Vlach 2018* – M. Vlach: Modelování tras a prostorové aspekty římského tažení proti Marobudovi. *Přehled výzkumů* 59, 2018, 89–110.
- Voss 1998* – H. U. Voss: Die Bügelknopffibeln. Almgren Gruppe VI, 2, Fig. 185 und 186. In: J. Kunow (ed.): 100 Jahre Fibelformen nach Oscar Almgren Internationale Arbeitstagung 25.–28. Mai 1997 Kleinmachow, Land Brandenburg. *Forschungen zur Archäologie im Land Brandenburg* 5. Wünsdorf 1998, 271–282.
- Voss 2006* – H. U. Voss: Hagenow in Mecklenburg – ein frühkaiserzeitlicher Bestattungsort und Aspekte der römisch-germanischen Beziehungen. *Berichte der Römisch-Germanischen Kommission* 86, 2005, 19–59.
- Voss 2016* – H. U. Voss: Beschlagteile vorwiegend militärischer Verwendung im mitteleuropäischen Barbaricum zwischen Rhein und Oder – Formenspektrum und Fundkontext. In: H.-U. Voß/N. Müller-Scheeßel (eds.): *Archäologie zwischen Römern und Barbaren. Zur Datierung und Verbreitung römischer Metallarbeiten des 2. und 3. Jahrhunderts n. Chr. im Reich und im Barbaricum – ausgewählte Beispiele* (Gefäße, Fibeln, Bestandteile militärischer Ausrüstung, Kleingerät, Münzen). Internationales Kolloquium Frankfurt am Main, 19.–22. März 2009. *Kolloquien zur Vor- und Frühgeschichte* Bd. 22/2. Bonn – Frankfurt a. M. 2016, 711–733.
- Vujović 2013* – M. Vujović: Roman weapons and military equipment from Singidunum. *Vesnik* 40, 29–48.
- Waldhauser 1983* – J. Waldhauser: Závěrečný horizont keltských oppid (Konfrontace výkladů historických pramenů, numismatiky a archeologie). *Slovenská archeológia* XXXI/2, 1983, 325–356.
- Waurick 1983* – G. Waurick: Untersuchungen zur historisierenden Rüstung in der Römischen Kunst. *Jahrbuch des Römisch-Germanischen Zentralmuseums* 30, 1983, 265–301.
- Windholz-Konrad 2018* – M. Windholz-Konrad: Urnenfelderzeitliche Mehrstückhorte aus dem Salzkammergut zwischen Ödesee und Hallstättersee. Wien 2018.
- Zeman et al. 2017* – T. Zeman et al.: Střední Pomoraví v době římské. Svědectví povrchové prospekce. *Archaeologica Olomucensia* Tom. II. Olomouc 2017.

## MAŘÍN HILLFORT AND ITS SURROUNDINGS IN THE ROMAN PERIOD

DAVID VÍCH – JAN JÍLEK – JIŘÍ MILITKÝ – MICHAL HLAVICA –  
JIŘÍ KMOŠEK – JAN MARTÍNEK

### 1. INTRODUCTION

In 2016, archaeologists from the Regional Museum in Litomyšl discovered a ditch from a short-term Roman camp while extending the buildable land area in the town of Jevíčko. The survey of the forested hilly terrain west of Malá Haná enables a better understanding of certain phenomena associated with the presence of the Roman army, and it also raises new questions.

### 2. MAŘÍN HILLFORT

The site is located at 6 km to the north-west of a short-term Roman camp on the edge of the cadastral districts of Zadní Arnoštov and Křenov, on the top of the hill known as Hradiště (Fig. 1). Accidental finds date the fortified site to the 9<sup>th</sup>–13<sup>th</sup> century. A prospection using metal detectors provided important information in 2016–2017, and also artefacts from the Roman period.

The only reliably identified brooch is the bow of a Roman provincial fibula of the type A 84 (Fig. 2: 1) dated to the second third or second half of the 2<sup>nd</sup> century. The militaria include bronze trumpet-shaped belt fittings (Fig. 2: 2) and a rivet from a Niederbieber-type helmet (Fig. 2: 3) dated from the middle of the 2<sup>nd</sup> century to the first decade of the 3<sup>rd</sup> century. The other artefacts only serve to complete the circumstances of the find on site. The fitting of a horse's harness or the hinge of a drinking horn (Fig. 2: 5) belong probably to the Roman period; the other artefacts cannot be chronologically identified (Fig. 2: 4, 6–8, 10–12).

The finds from this site include six coins which were probably lost. The collection consists of three denarii, with one each of a sestercius, an as and an unidentifiable bronze nominal. From the chronological point of view, they are coins minted in 88/9 to 156/7, and also 145/161. The oldest coin

is a denarius (Fig. 5: 1) of the emperor Domitian (81–96), minted in Rome. Chronologically, the next coin is a denarius (Fig. 5: 2) of the emperor Trajan (98–117) from the mint in Rome. According to the new chronology of mintages of this ruler, it was probably issued in 107–108. A total of three mintages in the set are Antoninus Pius coins (138–161), represented by a denarius, sestercius and as (Fig. 5: 3–5). The last mintage from the grounds of the Mařín hill-fort is a very worn coin, with no further identification, with a diameter of 21 mm and a weight of 3.182 g (Fig. 5: 6).

### 3. ZADNÍ ARNOŠTOV – SITE “NA ŽLÍBCÍCH”

We come across other artefacts from the Roman period originating from around the extinct roads in the area between Jevíčko and the Mařín hill-fort at the location known as “Na Žlících” (cadastral district Zadní Arnoštov, Fig. 1).

Chronologically the oldest find in the set is the fragment of a distinctly profiled Roman provincial fibula of the A 69 type (Fig. 3: 8) from the second half of the 1<sup>st</sup> century CE, possibly ending in the first decades of the 2<sup>nd</sup> century. Four items are Roman provincial knee fibulae with a semi-circular headpiece (Fig. 3: 2, 5–7). We encounter Jobst 13C–13D fibulae in Barbaricum most often from the middle of the 2<sup>nd</sup> century to the beginning of the 3<sup>rd</sup> century. Fibulae of the Jobst 13E type are documented mainly in the later Roman period. There is one bronze specimen (Fig. 3: 1) from the category of fibulae with a squared, double conic button on the bow, dated to the very end of C2, but more likely to C3, with a limit at the beginning of the Great migration period. From the category of Roman militaria, there are two sword scabbard chapes of the Miks 36 type (Fig. 3: 3, 9; 7: 1, 2) dated to the

second half of the 2<sup>nd</sup> century and the 3<sup>rd</sup> century. The bronze peltoid buckle of the Oldenstein 1003/1014 type (Fig. 3: 4; 6: 6) is also associated with military equipment. In the Roman context, these buckles are mainly known from the period ranging from the 2<sup>nd</sup> quarter of the 2<sup>nd</sup> century to the 1<sup>st</sup> half of the 3<sup>rd</sup> century. Fragments of a bronze Roman vessel (Fig. 4: 1–5; 6: 7) also add to the set of finds from the site “Na Žlábčích”. These are five fragments of the body and rim of a Westland Hauken 2 type cauldron. They appear from the end of the 2<sup>nd</sup> century; we are aware of most specimens dating from the period which begins in around 260 (end of phase C1b). They come to an end in the early Merovingian period at the end of the 5<sup>th</sup> century and in the first half of the 6<sup>th</sup> century.

Two coins originate from Zadní Arnoštov “Na Žlábčích”. The first is a period-cast counterfeit of an emperor Hadrian denarius (Fig. 5: 7). Its model is the denarius minted in Rome, according to the new chronology from 119 to 120. The second mintage is a rather worn as coin which cannot be further identified (Fig. 5: 8), but only generally dated to the 1<sup>st</sup> to 2<sup>nd</sup> centuries.

#### 4. ANALYSIS OF THE DIFFICULTY OF THE TERRAIN AND MUTUAL VISIBILITY

The data background for the analysis carried out for this study was a digital elevation model with a cell resolution of 30 x 30 m, built using data from the ASTER module of the Terra satellite. Tobler's hiking function was used to analyse the time threshold for access to the terrain and to create an isochrone map (Tobler 1993, Fig. II).

Isochrones at an interval of one hour, or fifteen minutes, extracted from the raster of time passages for access to the terrain from the starting point at the top of the Mařín hillfort show that both sites (Mařín hillfort, Zadní Arnoštov “Na Žlábčích”) were in ideal conditions mutually accessible within just under two hours' walk through terrain with easy access (Fig. 9). The most suitable communication corridor calculated based on an analysis of the slope of the terrain has a length of just under 7 km, and skirts

around the prominent site of Hrubý les (531 m alt.) from the east or north-east.

An analysis of visibility combined with AGL (above ground level) analysis was used to ascertain the possibility of direct visual contact between the Mařín hillfort and the short-term Roman camp near Jevíčko. The AGL analysis showed that the small elevation of around 75 m to the south-west of the concentration of the four detector finds (no. 24, 25, 36, 36; Fig. 10) has a certain potential for further analysis. From this point, the possibilities of a view over the Roman camp in Jevíčko, or its close surroundings, were then examined. An analysis of visibility then showed that in ideal conditions and when observers were at the right height and in the right place in both observation points, the south-western part of the camp could be seen from here.

#### 5. ANALYSIS OF THE ELEMENTAL COMPOSITION OF METAL ARTEFACTS

Twelve metal artefacts from the Mařín hillfort and nine artefacts from the site of Zadní Arnoštov “Na Žlábčích” were analysed in total. The analyses were carried out on micro-samples of metal material using the SEM/EDS method. The results of the analysis of the elemental composition of each item are given in table 1. When evaluating the elemental composition, attention was paid in particular to the concentration of tin, lead and zinc (Fig. 15, 16). The items made of copper alloys can be divided into a total of four groups of material based on a comparison of the concentration of tin, zinc and lead.

The most frequent alloy in the set analysed is an alloy of lead-tin bronze with a small ratio of zinc (group 3), which was ascertained in a total of eleven artefacts. The average composition of artefacts in this group is 6.6% tin, 2.4% zinc and 18.5% lead. This group includes mainly items of Roman provenance, dated to B2/C1, and four other items difficult to date.

The second most common group of artefacts is that of an alloy of tin bronze (group 7) which was ascertained in a total of six items. The concentration of tin in these artefacts ranges from 2.7

to 11.1% and the additions of further elements are under the limit of 0.7%. The items included in this group cover a very wide time range.

An alloy of lead-tin bronze (group 5) was ascertained in two items of Roman provenance: the bow of a bronze A 84 type fibula (Mařín hillfort) and fibula of the type Jobst 13E (Zadní Arnořtov “Na Žlíbcích”). The tin content in both these items is 8.2% and 8.6% and 20.9% and 24.4% lead, and contains practically no zinc.

The bronze fittings / studs (Mařín hillfort), which are complicated to date, are made out of a lead-tin brass alloy with a high zinc content. The alloy contains 2.3% tin, 16.4% zinc and 4.0% lead. In terms of their composition, these brass objects resemble ancient brass – orichalcum.

The three analysed fragments of the Westland cauldron (Zadní Arnořtov “Na Žlíbcích”) have a very specific composition. The fragments of the sides and rim with a triangular handle attachment have a very heterogeneous composition and are around the edges of groups 3, 5 and 7 (Fig. 15). All the fragments analysed have in common a high tin content, which ranges between 10.5 and 11.1%. The lead contents vary between 0.7 and 3.6% and zinc reaches a concentration of up to 1.2%. The concentrations of tin, lead and zinc of the analysed fragments of the cauldron from Zadní Arnořtov were compared with the published data of other cauldrons from Scandinavia, France and Germany. Several analysed cauldrons from the territory of Scandinavia and Germany from the Great migration period have a similar elemental composition. In order to place the cauldron from Zadní Arnořtov more completely in the context of other analysed cauldrons from various geographical environments, it would be necessary to analyse the concentration of additional and trace elements in the samples.

## 6. DISCUSSION AND INTERPRETATION

The finds are chronologically divided into three groups: phase B1c to the beginning of phase B2a (fibula A 69), phase B2b to C1a (fibula A 84, trumpet-like fitting, rivet from the Niederbieber type helmet, Roman provincial knee fibulae Jobst

13C–13D, the Miks 36 scabbard chape of swords and a buckle of the Oldenstein 1004/1014 type), interval C1–E (fragments of a Hauken 2 type of Westland cauldron, fibula with a button on the bow, Roman provincial knee Jobst 13E fibula); all the datable artefacts from the Mařín hillfort belong exclusively to the second of these periods.

The testimony of the numismatic sources is limited due to the small number of coins. None of the definable mintages exceeds the year 180. From the Mařín hillfort, there is a striking ratio of bronze coins to denarii of 3:3, whereas in Germanic settlements, there is usually a clear dominance of silver denarii. With reservation and considerable caution, the coins found may indicate the activities of the Roman army. However, we cannot exclude the possibility that the finds of coins are also evidence of Germanic activity, and that the Roman items, including coins, were deposited here repeatedly as votive offerings.

An important fact is that all the artefacts come from an altitude of over 530 m, from an area with unfertile soil and unfavourable climatic conditions, which practically excludes the context of a settlement. This area is characterised by the presence of extinct roads which appear as cuttings (Fig. 17 – red) with finds from the Bronze Age to the Middle Ages. Finds not only from the examined sites but also from other places show that the territory in question was used as a communication corridor (not only) during the whole Roman period; activities from the period around the Marcomannic wars are, of course, the easiest to apprehend in archaeological terms. If we associate the information we have to date about the Roman period in the studied stage with information on the relief of the terrain and preserved cuttings (Fig. 17), it appears that long-distance routes were present here, ones which overcame the rugged valley hemmed in from the west and east by fissure valleys, under the Mařín hillfort around the present-day municipality of Křenov (Fig. 17, highlighted by arrows).

## 7. CONCLUSION

The configuration of the terrain, the presence of relicts of extinct roads and other finds are con-

vincing evidence of the relation between the artefacts discovered and a long-distance route connecting the territory of Moravia with the Bohemian basin. Finds not only from the studied locations, but also from other places point to the use of a communication corridor during the whole Roman period, although activities from the period around the Marcomannic wars are the clearest in archaeological terms. Some finds, with greater or lesser certainty, can document ritual activities (travel sacrifices – fragments of a Westland cauldron and others).

The increased number of Roman militaria, the composition of the small number of Roman coins found, the strategic position of the Hradiště

hill with its visual control of the road towards the Bohemian interior, and the theoretically possible visual contact with the short-term Roman camp near present-day Jevíčko, which controlled the opening of the long-distance route into the valley of present-day Malá Haná, thus enable us to form the hypothesis of a possible advanced guard point controlled by a Roman garrison which had the task of giving an early warning of the movement of Barbarian groups from the interior. However, the absence of further evidence in the form of intact archaeological situations means that this idea remains hypothetical with a range of other possible interpretations, mainly of a ritual nature.

**PhDr. David Vích**

Regionální muzeum ve Vysokém Mýtě  
A. V. Šembery 125  
CZ – 566 01 Vysoké Mýto  
dvich@centrum.cz

**PhDr. Jan Jílek, Ph.D.**

Masarykova univerzita, Filozofická fakulta  
Ústav archeologie a muzeologie, Oddělení klasické archeologie  
Arna Nováka 1/1  
CZ – 602 00 Brno  
Východočeské muzeum v Pardubicích, Archeologické oddělení  
Zámek 2  
CZ – 530 02 Pardubice  
mitridates@post.cz

**doc. PhDr. Jiří Militký, Ph.D., DSc.**

Filosofický ústav Akademie věd České republiky, Praha /  
Centrum medievistických studií Akademie věd České republiky a Univerzity Karlovy v Praze  
Jilská 1  
CZ – 110 00 Praha 1  
militky.jiri@seznam.cz

**Mgr. Michal Hlavica**

Archeologický ústav Akademie věd České republiky,  
Brno, v. v. i.  
Čechyňská 363/19  
CZ – 639 00 Brno  
hlavica@arub.cz

**Ing. Jiří Kmošek**

Academy of Fine Arts Vienna  
The Institute for Natural Sciences and Technology in Art  
Schillerplatz 3  
AT – 1010 Wien  
Ústav jaderné fyziky AV ČR, v.v.i.  
Řež 130  
CZ – 250 68 Řež  
kmošekj@gmail.com

**Mgr. Jan Martínek**

Centrum dopravního výzkumu, v. v. i.  
Líšeňská 33a  
CZ – 636 00 Brno  
jan.martinek@cdiv.cz